

# FP 1B 2024

Statistická mechanika nabitých částic – kinetické rovnice

Debyeho stínící vzdálenost

Coulombovský logaritmus

jazyk - česky, slovensky, anglicky, ... v aproximaci

**Literatura:**

Základy klasické a kvantové fyziky plazmatu

„Velký Kracík“

J.Kracík, B. Šesták a L. Aubrecht

Academia Praha 1974

Fyzika plazmatu

J.Kracík, J. Tobiáš

Academia, Praha 1966

„Malý Kracík“

**This presentation is only for students attending the lecture PLASMA PHYSICS at MFF UK,**

**Not for public use, Preliminary version without references**

Introduction to Plasma Physics

Greg Hammett

[w3.ppp1.gov/~hammett/talks](mailto:w3.ppp1.gov/~hammett/talks)

Department of Astrophysical Sciences  
Princeton University

National Undergraduate Fellowship Program  
in Plasma Physics and Fusion Engineering  
June 10, 2008

acknowledgements: Many slides borrowed from Prof. Fisch, Prof. Goldston, others

Mitglied der Helmholtz-Gemeinschaft



Introduction to Plasma Physics  
CERN School on Plasma Wave Acceleration

24-29 November 2014 | Paul Gibbon

**Obrázková příloha  
k přednáškám z Fyziky B**

Podle citovaných literárních  
pramenů zpracoval

Doc. Ing. Jaroslav Hofmann, CSc.

# PLASMA

## Simple definition:

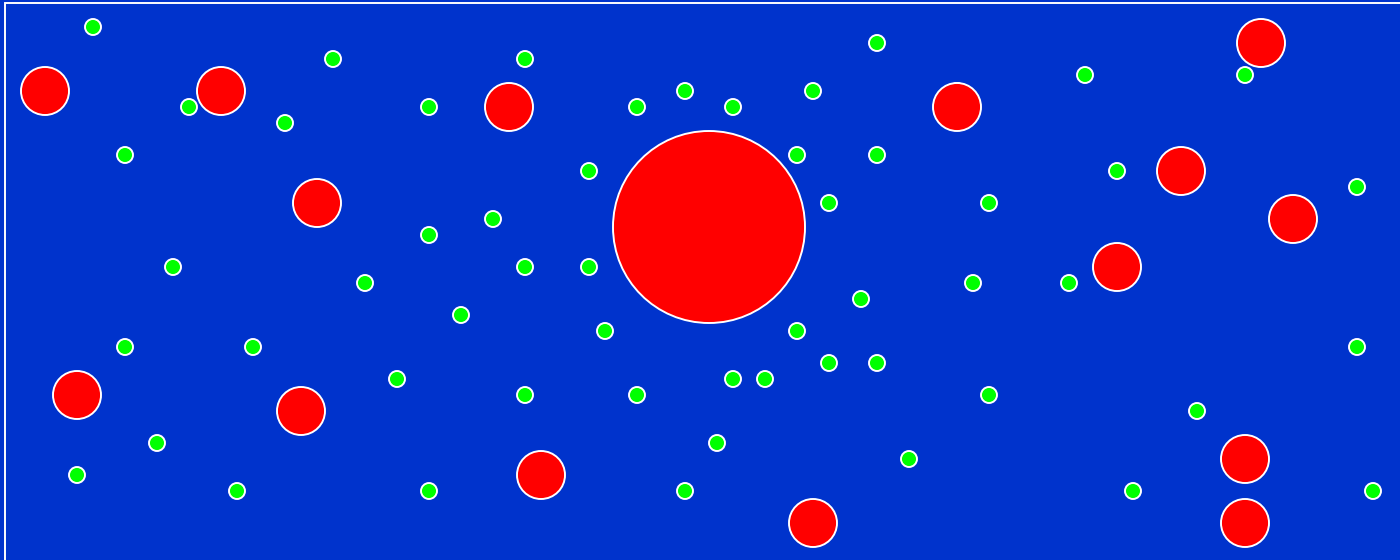
a quasi-neutral gas of charged particles showing collective behaviour.

Quasi-neutrality: number densities of electrons,  $n_e$ , and ions,  $n_i$ , with charge state  $Z$  are locally balanced:  $n_e \approx Zn_i$

Collective behaviour: long range of Coulomb potential ( $1/r$ ) leads to nonlocal influence of disturbances in equilibrium.

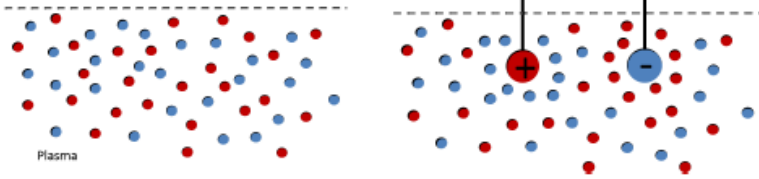
Macroscopic fields usually dominate over microscopic fluctuations, e.g.:

$$\rho = e(Zn_i - n_e) \Rightarrow \nabla \cdot \mathbf{E} = \rho / \epsilon_0$$



Plasma Shielding

# Debye shielding



What is the potential  $\phi(r)$  of an ion (or positively charged sphere) immersed in a plasma?

For equal ion and electron temperatures ( $T_e = T_i$ ), we have:

$$\frac{1}{2}m_e v_e^2 = \frac{1}{2}m_i v_i^2 = \frac{3}{2}k_B T_e \quad (2)$$

Therefore,

$$\frac{v_i}{v_e} = \left(\frac{m_e}{m_i}\right)^{1/2} = \left(\frac{m_e}{Am_p}\right)^{1/2} = \frac{1}{43} \quad \text{(hydrogen, } Z=A=1\text{)}$$

Ions are almost stationary on electron timescale!

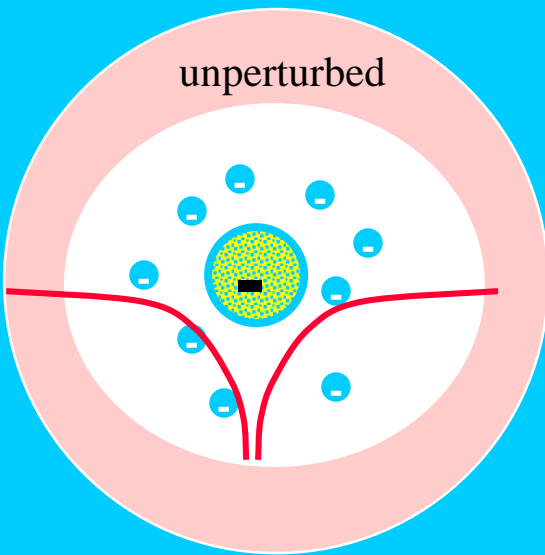
To a good approximation, we can often write:

$$n_i \simeq n_0,$$

where the material (eg gas) number density,  $n_0 = N_A \rho_m / A$ .

$$M_p/m_e \sim 1836$$

# Debye shielding 1



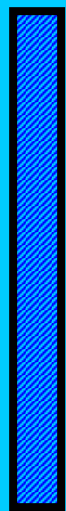
The effect of potential – perturbing charge in a plasma are generally much shorter- range than in vacuum because the charges in plasma tend to distribute themselves so as to shield the plasma from the electric field the perturbing charge generates.

The effect can be deduced readily from Poisson's equation by assuming, for example, that ions do not move but that electrons adopt a thermal equilibrium distribution in which electron distribution is determined by the Boltzmann factor:

$$n_e = n_\infty \exp(eV / kT_e)$$

$n_\infty$  is electron density far from the perturbing charge where potential  $V$  is taken as a zero. Poisson's equation is:

$$\nabla^2 V = \frac{-\rho}{\epsilon_0} = \frac{-e}{\epsilon_0} (n_i - n_e) = \frac{-e}{\epsilon_0} n_\infty [1 - \exp(\frac{eV}{kT_e})]$$



$n_i$   
 $n_e$

$$n_{e\infty} = n_{i\infty} = n_\infty$$

$V=0$

$V$

If we suppose that  $eV \ll kT_e$  exponential term can be expressed by  $1 + eV / kT_e$  and we obtain:

$$\nabla^2 V = \frac{-e}{\epsilon_0} n_\infty \left[ \frac{-eV}{kT_e} \right] = \frac{e}{\epsilon_0} n_\infty \frac{eV}{kT_e} = \frac{V}{\lambda_D^2}$$

$$\lambda_D = (\epsilon_0 kT_e / e^2 n_\infty)^{1/2}$$

Linear approximation just to understand problem, signs are roughly OK

# Debye shielding 2

$$n_e = n_\infty \exp(eV / kT_e)$$

$eV \ll kT_e$ , exponential can be approximated by linear term  $\rightarrow$

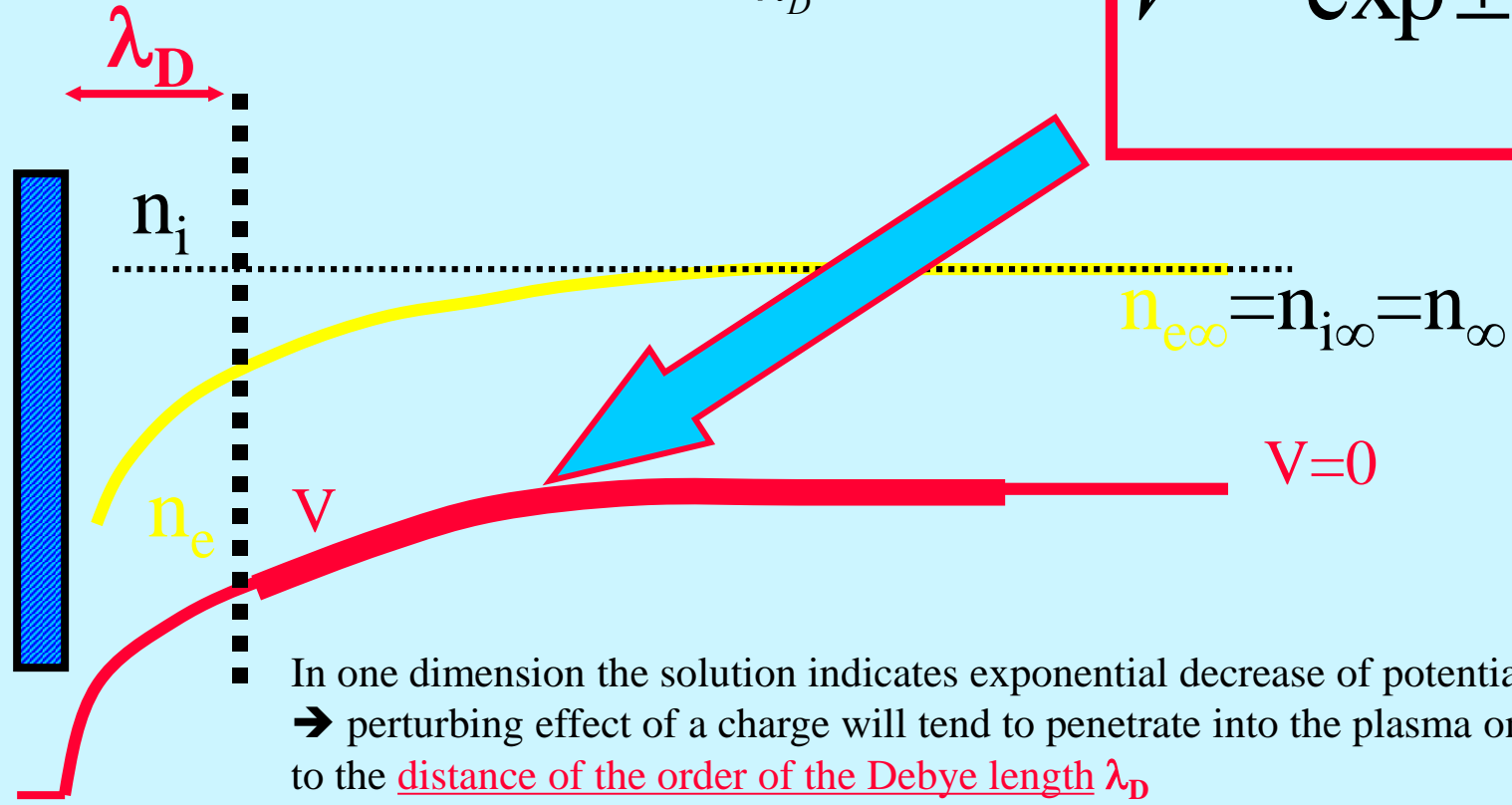
$$\lambda_D = (\epsilon_0 kT_e / e^2 n_\infty)^{1/2}$$

$$\nabla^2 V = \frac{-\rho}{\epsilon_0} = \frac{-e}{\epsilon_0} (n_i - n_e) = \frac{-e}{\epsilon_0} n_\infty [1 - \exp(\frac{eV}{kT_e})]$$

$$\nabla^2 V = \frac{-e}{\epsilon_0} n_\infty [\frac{-eV}{kT_e}] = \frac{e}{\epsilon_0} n_\infty \frac{eV}{kT_e} = \frac{V}{\lambda_D^2}$$

$$\nabla^2 V = \frac{V}{\lambda_D^2}$$

$$V \sim \exp \pm \frac{x}{\lambda_D}$$



In one dimension the solution indicates exponential decrease of potential  $\rightarrow$  perturbing effect of a charge will tend to penetrate into the plasma only to the distance of the order of the Debye length  $\lambda_D$

**Linear approximation just to understand problem**

### Debye shielding 3

$$n_e = n_\infty \exp(eV / kT_e)$$

$$eV \ll kT_e$$

$$\nabla^2 V = \frac{V}{\lambda_D^2}$$



$$V \sim \exp \pm \frac{x}{\lambda_D}$$

$$\lambda_D = (\epsilon_0 k T_e / e^2 n_\infty)^{1/2}$$

$$l_d = 69 \sqrt{\frac{T}{n}}, \quad T \text{ in } K, n \text{ in } m^{-3}$$

For laboratory plasma with  $T_e = 1 \text{ eV}$  and  $n_e = 10^{11} \text{ cm}^{-3} \rightarrow \underline{\lambda_D = 23 \mu\text{m}}$

$n_e = 10^{11} \text{ cm}^{-3} \rightarrow$  “distance” between particles  $\sim 2 \mu\text{m}$ ;

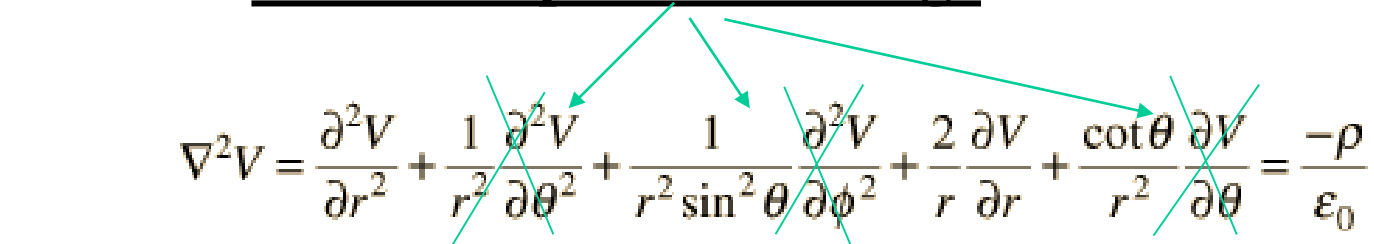
For plasma with  $T_e = 0.001 \text{ eV}$  ( $\sim 10 \text{ K}$ ) and  $n_e = 10^{11} \text{ cm}^{-3} \rightarrow \underline{\lambda_D = 0.7 \mu\text{m}}$

$n_e = 10^{11} \text{ cm}^{-3} \rightarrow$  “distance” between particles  $\sim 2 \mu\text{m}$ ;

For plasma with  $T_e = 0.001 \text{ eV}$  ( $\sim 10 \text{ K}$ ) and  $n_e = 10^7 \text{ cm}^{-3} \rightarrow \underline{\lambda_D = 74 \mu\text{m}}$

**Linear approximation just to understand problem**

## Potential of a Uniform Sphere of Charge


$$\nabla^2 V = \frac{\partial^2 V}{\partial r^2} + \frac{1}{r^2} \frac{\partial^2 V}{\partial \theta^2} + \frac{1}{r^2 \sin^2 \theta} \frac{\partial^2 V}{\partial \phi^2} + \frac{2}{r} \frac{\partial V}{\partial r} + \frac{\cot \theta}{r^2} \frac{\partial V}{\partial \theta} = \frac{-\rho}{\epsilon_0}$$

$$\frac{\partial^2 V}{\partial r^2} + \frac{2}{r} \frac{\partial V}{\partial r} = \frac{-\rho}{\epsilon_0}$$

# Debye shielding 4

(not in SI!):

In spherical symmetry Poisson's equation gives (*not in SI!*):

$$\frac{1}{r} \frac{d^2}{dr^2} \{Vr\} = \frac{4\pi e^2 n_{e\infty}}{kT_e} V(r) \quad \Rightarrow \quad V = \frac{A}{r} \exp(-r / \lambda_{DX}) + \frac{B}{r} \exp(r / \lambda_{DX})$$

$$\lambda_{DX} = (kT_e / 4\pi e^2 n_{\infty})^{1/2}$$

Applying the boundary condition that as r tends to infinity V must tend to zero gives B=0,  
V must tend to e/r as r tend to zero →

$$V = \frac{e}{r} \exp(-r / \lambda_{DX})$$

(not in SI!):

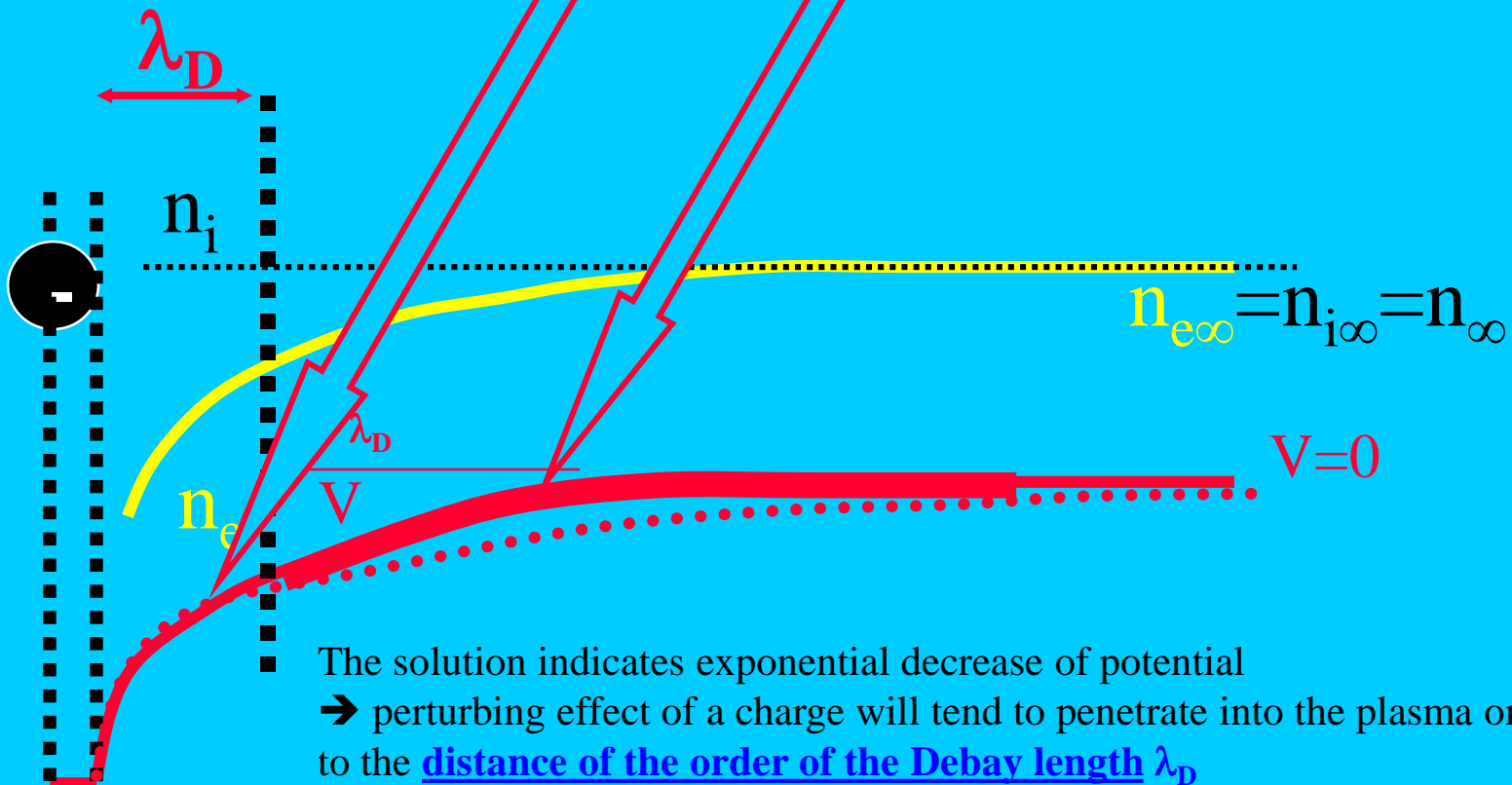
$$\lambda_D = (\epsilon_0 kT_e / e^2 n_{\infty})^{1/2}$$



# Debye shielding 5

$$V = \frac{e}{r} \exp(-r / \lambda_{DX})$$

$$\lambda_{DX} = (kT_e / 4\pi e^2 n_\infty)^{1/2}$$



# Debye shielding 6

$$V = \frac{e}{r} \exp(-r / \lambda_{DX})$$

$$\lambda_{DX} = (kT_e / 4\pi e^2 n_\infty)^{1/2}$$

Just rewritten

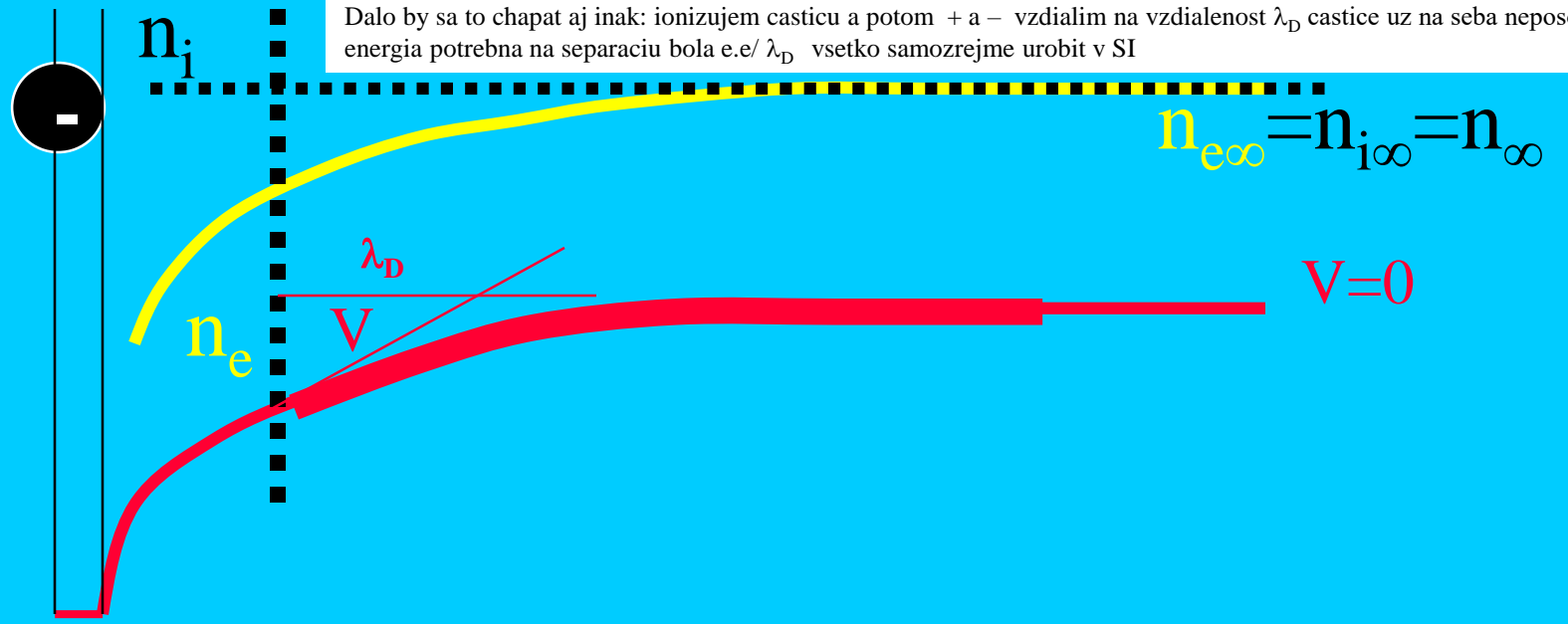
$$(n_\infty \lambda_{DX}^3 4/3\pi) 3e^2 / \lambda_{DX} = kT_e$$

$$N(e^2 / \lambda_{DX}) \approx Ne(e / \lambda_{DX}) \approx Ne\phi \approx \text{potencial energy} \approx kT_e$$

N – number of particles in debye sphere



Ked elektron vleti do plazmatu, zmeni sa v jeho okoli rozlozenie elektronov, Vlastne dojde k vytlaceniu elektronov - energia na to potrebna je  $Ne\phi$  a ta je prave rovná ~ kinetickej energii castice, inak povedano plazma ma energiu nato, aby sa chovalo jak sa chova.... Zaujimave je, ze pokiaľ pokladame ionty za nehybne, tak na umiestnenie elektronu treba energiu a pri umiestneni kladnej castice sa energia ziska... → Pri ionizacii fotonom a vzniku + a - castice vlastne netreba ziadnu dodatocnu energiu... TO VSETKO MOZE BYT PRESNE NA FAKTOR 1-3... ale urcitu predstavu dava... Dalo by sa to chapat aj inak: ionizujem casticu a potom + a - vzdialim na vzdialenost  $\lambda_D$  castice uz na seba neposobia ... energia potrebna na separaciu bola  $e.e / \lambda_D$  vsetko samozrejme urobit v SI

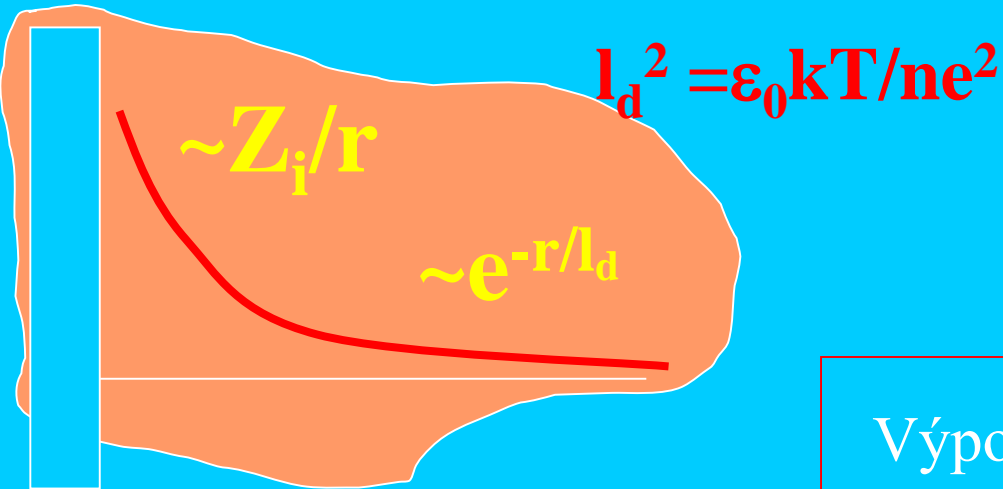


$$n_{e\infty} = n_{i\infty} = n_\infty$$

V=0

Ještě raz

- Stínění v plazmě
- Ustanovení debyovského stínění



$$\phi(r) = (Z_i e / 4\pi \epsilon_0) / r * e^{-r/\lambda_d}$$

$$\sigma_c(v) = 2\pi \int b db$$

Problém srážek na velkou vzdálenost

Výpočet:

$$\lambda_d = 69 \sqrt{\frac{T}{n}}, \quad T \text{ in } K, n \text{ in } m^{-3}$$

at 1000K,  $n = 4.8 \times 10^{12} m^{-3} = 4.8 \times 10^6 cm^{-3}$

$\lambda_d = 1 \text{ mm} = 0.001 \text{ m}$

at 10K,  $n = 1 \times 10^{10} m^{-3} = 1 \times 10^4 cm^{-3}$

$\lambda_d \sim 2 \text{ mm} \sim 0.002 \text{ m}$

# Další kroky

$$\lambda_{De} \equiv \sqrt{\frac{\epsilon_0 T_e}{n_e e^2}} \simeq 7434 \sqrt{\frac{T_e(\text{eV})}{n_e(\text{m}^{-3})}} \text{ m, } \text{ electron Debye length.}$$

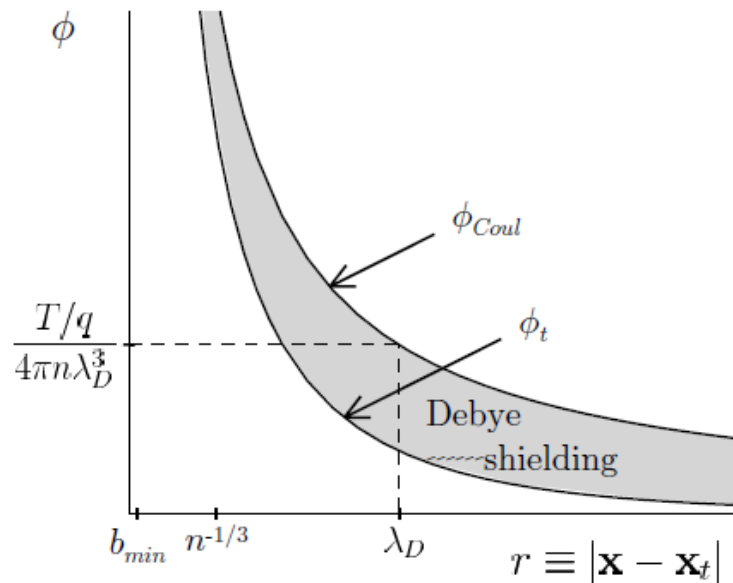


Figure 1.1: Potential  $\phi_t$  around a test particle of charge  $q_t$  in a plasma and Coulomb potential  $\phi_{Coul}$ , both as a function of radial distance from the test particle. The shaded region represents the Debye shielding effect. The characteristic distances are:  $\lambda_D$ , Debye shielding distance;  $n_e^{-1/3}$ , mean electron separation distance;  $b_{min}^{cl} = q^2 / (4\pi\epsilon_0 T)$ , classical distance of “closest approach” where the  $e\phi/T \ll 1$  approximation breaks down.

# Debye lengths

$$l_d = 69 \sqrt{\frac{T}{n}}, \quad T \text{ in } K, n \text{ in } m^{-3}$$

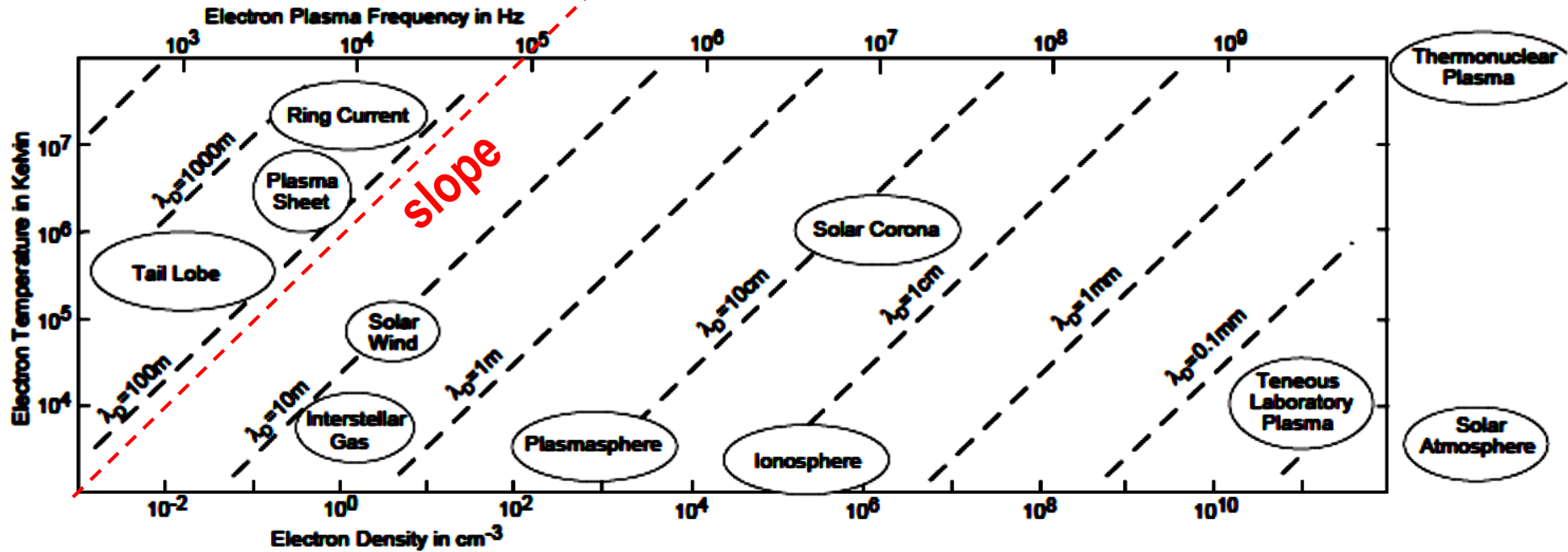


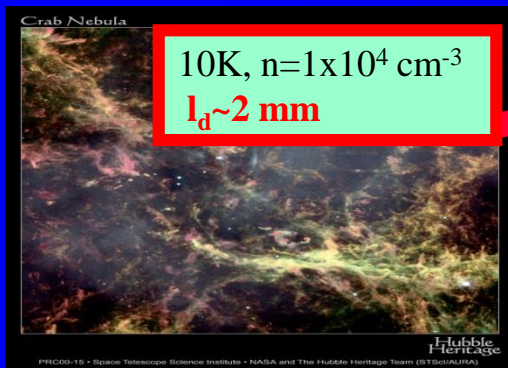
Figure 1.1: Plasma parameters.

# Temperatures and energies



1000K,  $n=4.8 \times 10^6 \text{ cm}^{-3}$   
 $l_d = 1 \text{ mm}$

$$l_d = 69 \sqrt{\frac{T}{n}}, \quad T \text{ in K, } n \text{ in } m^{-3}$$



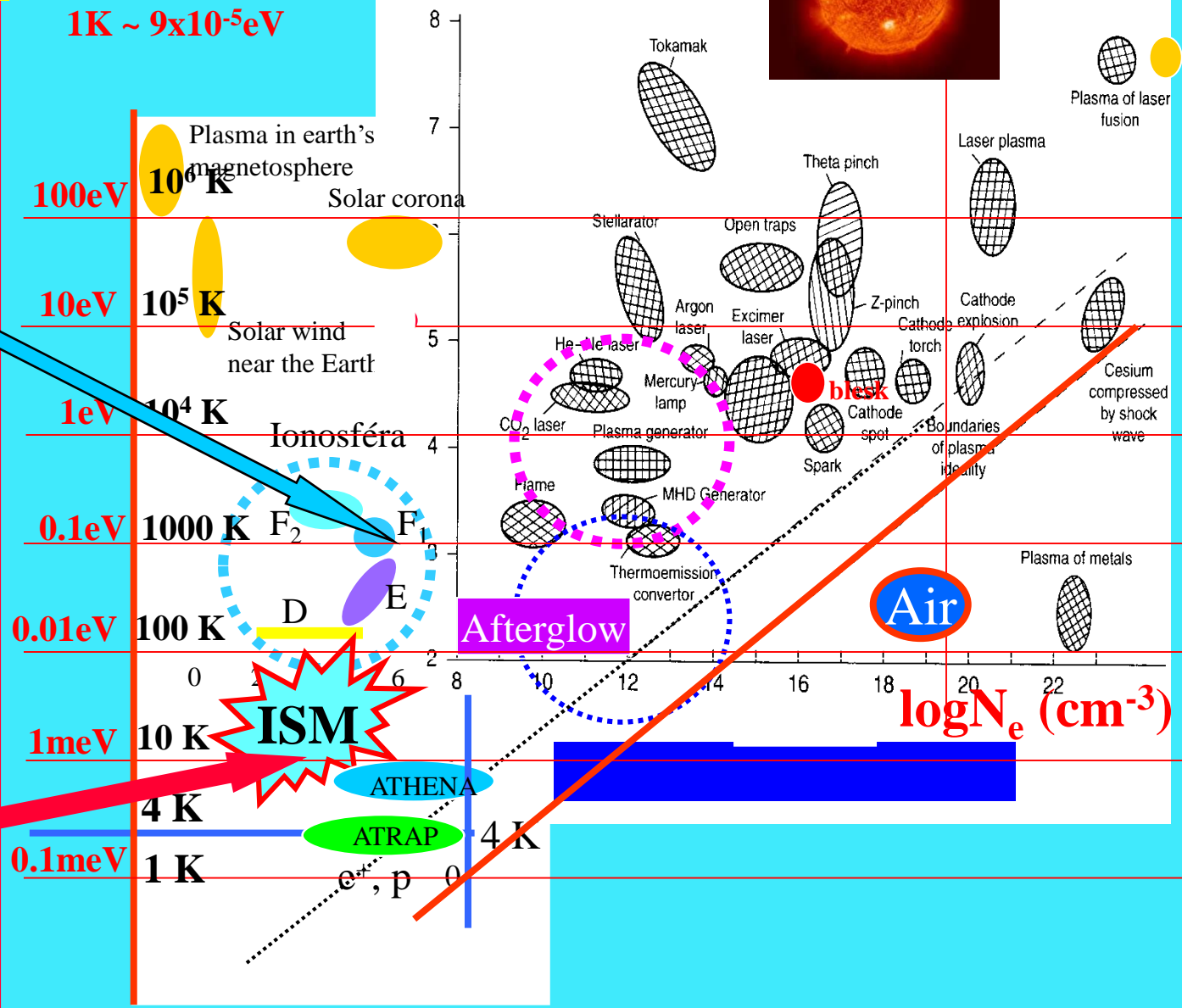
10K,  $n=1 \times 10^4 \text{ cm}^{-3}$   
 $l_d \sim 2 \text{ mm}$

$E/k \leftrightarrow T$   
 $1\text{eV} \sim 11\,400 \text{ K}$   
 $1\text{K} \sim 9 \times 10^{-5} \text{ eV}$

$\log T_e \text{ (K)}$  Solar nucleus



STATE OF MATTER



**Další kroky**

# Debyeho stínící vzdálenost

- Debyeho stínící vzdálenost
- Potenciál kolem náboje v plazmě.

$$\Delta\phi = -1/\epsilon_0 e \sum Z_i n_i$$

Plazma

$$\Delta\phi = -1/\epsilon_0 (Z_1 n_1 + Z_2 n_2)$$

$$n_e = n_\infty \exp(eV / kT_e)$$

Uvážíme-li, že koncentrace jednotlivých složek plazmatu jsou dány Maxwellovým-Boltzmannovým zákonem:

$$n_i = n_{i0} e^{-Z_i e \phi / kT_i}$$

$$\nabla^2 V = \frac{-\rho}{\epsilon_0} = \frac{-e}{\epsilon_0} (n_i - n_e) = \frac{-e}{\epsilon_0} n_\infty [1 - \exp(\frac{eV}{kT_e})]$$

Dostaneme:

$$\Delta\phi = -e/\epsilon_0 (Z_1 n_{10} e^{-Z_1 e \phi / kT_1} + Z_2 n_{20} e^{-Z_2 e \phi / kT_2})$$

Pro  $Z_i e \phi \ll kT_i$

$$\Delta\phi = -e/\epsilon_0 \{ \underbrace{(Z_1 n_{10} + Z_2 n_{20})}_{=0} - \phi (Z_1^2 e n_{10} / kT_1 + Z_2^2 e n_{20} / kT_2) \}$$



# Debyeho stínící vzdálenost

Debye-Hückel radius

- Debyeho stínící vzdálenost.
- Debyeovský poloměr

$$\Delta\phi = -e/\epsilon_0 \{ (Z_1 n_{10} + Z_2 n_{20}) - \phi (Z_1^2 e n_{10}/kT_1 + Z_2^2 e n_{20}/kT_2) \}$$

=0

=  $1/\lambda_d^2$

$$\Delta\phi = \phi/\lambda_d^2$$

$$\lambda_d^2 = \frac{\epsilon_0 k T_1 T_2}{e^2 (Z_1^2 n_{10} T_2 + Z_2^2 n_{20} T_1)}$$

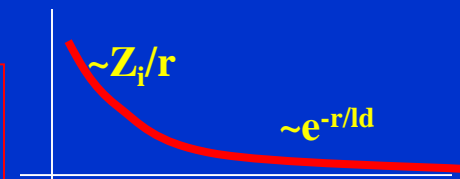
Vzhledem k symetrii problému... kolem bodového náboje.

$$1/r \frac{d^2(r\phi)}{dr^2} = \phi/\lambda_d^2$$

$$\phi(r) = 1/r (C_1 e^{-r/\lambda_d} + C_2 e^{+r/\lambda_d})$$

$$\phi(\text{inf})=0 \rightarrow C_2=0,$$

$$\phi(r) = (Z_i e / 4\pi\epsilon_0) / r * e^{-r/\lambda_d}$$



# Debyeho stínící vzdálenost

- Shrňte, co se od účastníků očekává – pochopit, co je plazma.

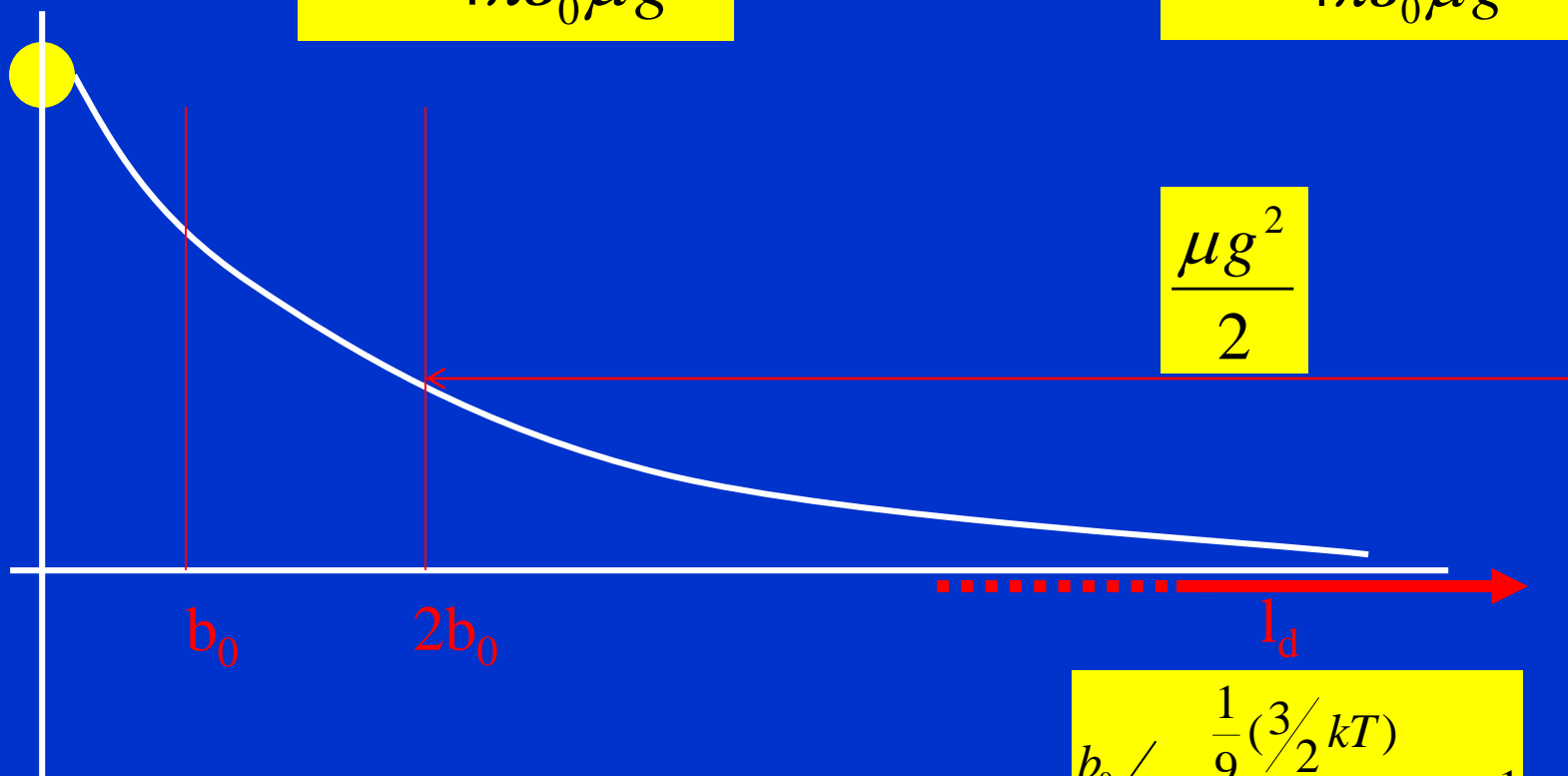
$$l_d^2 = \frac{\epsilon_0 k T_1 T_2}{e^2 (Z_1^2 n_{10} T_2 + Z_2^2 n_{20} T_1)}$$

For quasineutral plasma,  
 $n_{10} = n_{20} = n/2 =$  with  $T_1 = T_2$  we obtain

$$l_d^2 = \frac{\epsilon_0 k T}{n e^2}$$

$$b_0 = \frac{Z_1 Z_2 e^2}{4 \pi \epsilon_0 \mu g^2}$$

$$b_0 = \frac{e^2}{4 \pi \epsilon_0 \mu g^2}$$



$$\frac{b_0}{l_d} = \frac{\frac{1}{9} (3/2 kT)}{N^{1/2} \mu g^2} \lll 1$$

# Debyeho stínící vzdálenost

■ Jiný pohled

$$l_d^2 = \frac{\epsilon_0 k T_1 T_2}{e^2 (Z_1^2 n_{10} T_2 + Z_2^2 n_{20} T_1)}$$

For quasineutral plasma,  
 $n_{10} = n_{20} = n/2 =$  with  $T_1 = T_2$  we obtain

$$l_d^2 = \frac{\epsilon_0 k T}{n e^2}$$

$$b_0 = \frac{Z_1 Z_2 e^2}{4 \pi \epsilon_0 \mu g^2}$$

$$b_0 = \frac{e^2}{4 \pi \epsilon_0 \mu g^2}$$

$$4 \pi b_0 \mu g^2 = \frac{e^2}{\epsilon_0}$$

$$4 \pi b_0 \mu g^2 = \frac{e^2}{\epsilon_0} = \frac{k T}{n l_d^2}$$

$$b_0 \mu g^2 = \frac{l_d k T / 3}{\frac{4}{3} \pi n l_d^3} = \frac{l_d k T / 3}{N_D}$$

$$\frac{k T}{n l_d^2} = \frac{e^2}{\epsilon_0}$$

$N_D$  je počet částic v „debayove sféře“

The problem is that  $b_0$  is for individual collision  
 $l_d$  is for many particles...

$$\frac{b_0}{l_d} = \frac{\frac{1}{9} (3/2 k T)}{N_D \frac{1}{2} \mu g^2} \lll 1$$

It is equivalent to condition  $e \phi \lll k T$

# Převod jednotek, plazmatický parametr

- $kT \sim 1\text{eV} \rightarrow T = 11600\text{K}$
- $300\text{K} \rightarrow kT \sim 25.8\text{meV}$ ,  $3/2kT = 38.8\text{meV}$
- $1\text{eV} \sim 8065.5\text{cm}^{-1}$

Plazmatický parametr;

Ideální plazma --- potenciální energie částic je  $\ll$  kinetická energie

$$U(r) \ll kT$$

$$r^3 \sim 1/n$$

$$\gamma = ne^6 / (kT)^3 \ll \ll 1$$

$\gamma$  = plazmatický parametr

debyeovo stínění platí jenom tehdy, pokud  $N_d \gg \gg 1$

$$N_d = n \cdot \frac{4}{3} \pi l_d^3 = \frac{1.38 \times 10^6 T^{3/2}}{n^{1/2}}, \quad T \text{ v } K$$

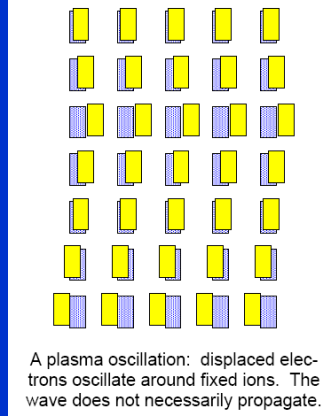
$$N_d \gg \gg 1, \rightarrow l_d^3 \cdot n \gg \gg 1$$

$$l_d \ll L,$$

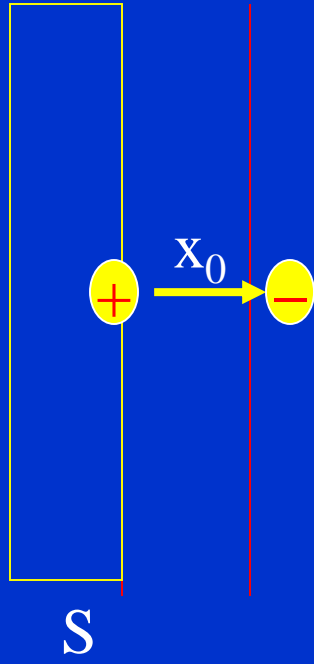
Debye-Hückel radius

# Oscilace plazmatu

■ Pozor jiné jednotky



Gausova veta



$$\oint_s \vec{E} \cdot d\vec{S} = Q / \epsilon_0$$

$$E = enx / \epsilon_0$$

$$m_e d^2(x) / dt^2 = -eE$$

$$\omega_p = (4\pi ne^2 / m_e)^{1/2}$$

$$d^2 x / dt^2 = -\omega_p^2 x$$

Langmuir, or plasma, frequency

$$f_p = 9\sqrt{n(10^{12} \text{ cm}^{-3})} \text{ GHz}$$

$$l_d \omega_p = (2T / m_e)^{1/2} \approx \text{thermal electron velocity}$$

### 1.4 Plasma oscillations

So far we have considered characteristics, such as density and temperature, of a plasma in equilibrium. We can also ask how fast the plasma will respond to an external disturbance, which could be due to electromagnetic waves (e.g. a laser pulse) or particle beams. Consider a quasi-neutral plasma slab in which an electron layer is displaced from its initial position by a distance  $\delta$ , as illustrated in Fig. 3. This creates two 'capacitor' plates with surface charge  $\sigma = \pm en_e \delta$ , resulting in an electric field

$$\mathbf{E} = \frac{\sigma}{\epsilon_0} = \frac{en_e \delta}{\epsilon_0}.$$

The electron layer is accelerated back towards the slab by this restoring force according to

$$m_e \frac{dv}{dt} = -m_e \frac{d^2 \delta}{dt^2} = -eE = -\frac{e^2 n_e \delta}{\epsilon_0},$$

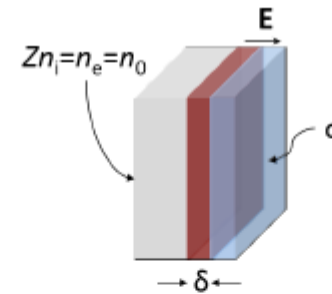


Fig. 3: Slab or capacitor model of an oscillating electron layer

or

$$\frac{d^2 \delta}{dt^2} + \omega_p^2 \delta = 0$$

where

$$\omega_p \equiv \left( \frac{e^2 n_e}{\epsilon_0 m_e} \right)^{1/2} \simeq 5.6 \times 10^4 \left( \frac{n_e}{\text{cm}^{-3}} \right)^{1/2} \text{ s}^{-1} \quad (11)$$

is the *electron plasma frequency*.

Electron plasma frequency

$$\omega_p = (4\pi n e^2 / m_e)^{1/2}$$

This quantity can be obtained via another route by returning to the Debye sheath problem of Section 1.1 and asking how quickly it would take the plasma to adjust to the insertion of the foreign charge. For a plasma of temperature  $T_e$ , the response time to recover quasi-neutrality is just the ratio of the Debye length to the thermal velocity  $v_{te} \equiv \sqrt{k_B T_e / m_e}$ ; that is,

$$t_D \simeq \frac{\lambda_D}{v_{te}} = \left( \frac{\epsilon_0 k_B T_e}{e^2 n_e} \cdot \frac{m}{k_B T_e} \right)^{1/2} = \omega_p^{-1}.$$

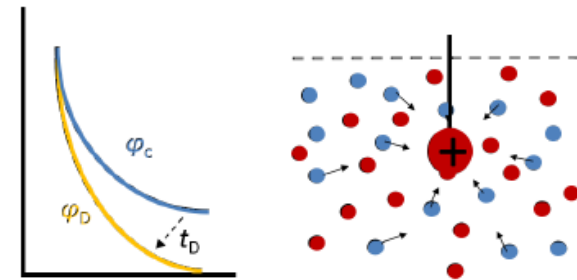


Fig. 4: Response time to form a Debye sheath

If the plasma response time is shorter than the period of an external electromagnetic field (such as a laser), then this radiation will be *shielded out*. To make this statement more quantitative, consider the ratio

$$\frac{\omega_p^2}{\omega^2} = \frac{e^2 n_e}{\epsilon_0 m_e} \cdot \frac{\lambda^2}{4\pi^2 c^2}.$$

**Plazmová frekvence elektronů** – charakteristická frekvence oscilací a vln v plazmatu, která souvisí s pohyby elektronů na pozadí iontů. Vratnou silou je Coulombova elektrická síla vznikající vychýlením souboru elektronů oproti souboru iontů. Tato frekvence závisí především na koncentraci elektronů,  $\omega_p = (n_e e^2 / m_e \epsilon_0)^{1/2}$ . Pod touto frekvencí se nemohou šířit řádné elektromagnetické vlny. Při nižších frekvencích totiž energii vln přebírají oscilace elektronů. Měřením plazmové frekvence lze určit koncentraci plazmatu.

Zpět [Glosář](#)



$$\omega_p = (4\pi n e^2 / m_e)^{1/2}$$

This quantity can be obtained via another route by returning to the Debye sheath problem of Section 1.1 and asking how quickly it would take the plasma to adjust to the insertion of the foreign charge. For a plasma of temperature  $T_e$ , the response time to recover quasi-neutrality is just the ratio of the Debye length to the thermal velocity  $v_{te} \equiv \sqrt{k_B T_e / m_e}$ ; that is,

$$t_D \simeq \frac{\lambda_D}{v_{te}} = \left( \frac{\epsilon_0 k_B T_e}{e^2 n_e} \cdot \frac{m}{k_B T_e} \right)^{1/2} = \omega_p^{-1}.$$

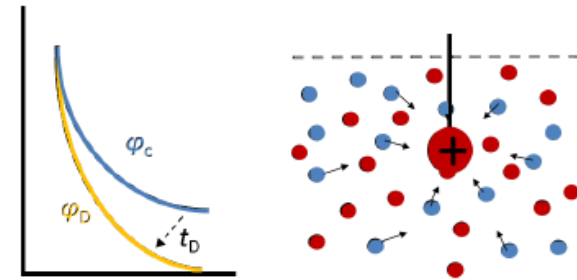


Fig. 4: Response time to form a Debye sheath

If the plasma response time is shorter than the period of an external electromagnetic field (such as a laser), then this radiation will be *shielded out*. To make this statement more quantitative, consider the ratio

$$\frac{\omega_p^2}{\omega^2} = \frac{e^2 n_e}{\epsilon_0 m_e} \cdot \frac{\lambda^2}{4\pi^2 c^2}.$$

Setting this to unity defines the wavelength  $\lambda_\mu$  for which  $n_e = n_c$ , or

$$n_c \simeq 10^{21} \lambda_\mu^{-2} \text{ cm}^{-3}. \quad (12)$$

Radiation with wavelength  $\lambda > \lambda_\mu$  will be reflected. In the pre-satellite/cable era, this property was exploited to good effect in the transmission of long-wave radio signals, which utilizes reflection from the ionosphere to extend the range of reception.

Typical gas jets have  $P \sim 1$  bar and  $n_e = 10^{18} - 10^{19} \text{ cm}^{-3}$ , and the critical density for a glass laser is  $n_c(1\mu) = 10^{21} \text{ cm}^{-3}$ . Gas-jet plasmas are therefore *underdense*, since  $\omega^2 / \omega_p^2 = n_e / n_c \ll 1$ . In this case, *collective effects* are important if  $\omega_p \tau_{\text{int}} > 1$ , where  $\tau_{\text{int}}$  is some characteristic interaction time, such as the duration of a laser pulse or particle beam entering the plasma. For example, if  $\tau_{\text{int}} = 100$  fs and  $n_e = 10^{17} \text{ cm}^{-3}$ , then  $\omega_p \tau_{\text{int}} = 1.8$  and we will need to consider the plasma response on the interaction time-scale. Generally this is the situation we seek to exploit in all kinds of plasma applications, including short-wavelength radiation, nonlinear refractive properties, generation of high electric/magnetic fields and, of course, particle acceleration.

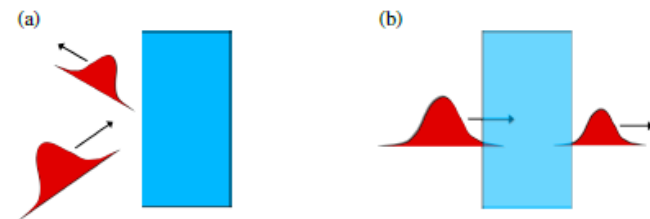


Fig. 5: (a) Overdense plasma, with  $\omega < \omega_p$ , showing mirror-like behaviour. (b) Underdense plasma, with  $\omega > \omega_p$ , which behaves like a nonlinear refractive medium.

Critical density





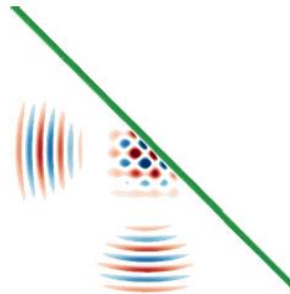
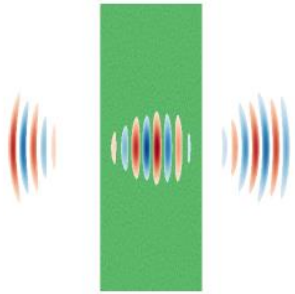
## Plasma response time $\omega_p^{-1}$ dictates type of interaction with time-varying external fields - eg: laser

**Underdense** plasma,  $\omega > \omega_p$ :

- slow plasma response
- nonlinear refractive medium

**Overdense** plasma,  $\omega < \omega_p$ :

- radiation shielded out
- mirror-like optics



## The critical density

To make this more quantitative, consider ratio:

$$\frac{\omega_p^2}{\omega^2} = \frac{e^2 n_e}{\epsilon_0 m_e} \cdot \frac{\lambda^2}{4\pi^2 c^2}$$

Setting this to unity defines the wavelength for which  $n_e = n_c$ , or

### Critical density

$$n_c \simeq 10^{21} \lambda_\mu^{-2} \text{ cm}^{-3} \quad (9)$$

above which radiation with wavelengths  $\lambda > \lambda_\mu$  will be reflected.  
cf: radio waves from ionosphere.

## Summary

- Ideal, thermal plasmas possess intrinsic length scale:  $\lambda_D$
- Characteristic timescale:  $\omega_p^{-1}$
- Frequency ratio  $\omega_p/\omega_0$  determines nature of interaction:
  - $\omega_p/\omega_0 < 1 \rightarrow$  propagation
  - $\omega_p/\omega_0 > 1 \rightarrow$  reflection

In previous text

$$\lambda_D = (\epsilon_0 k T_e / e^2 n_\infty)^{1/2}$$

$$N_d = n \cdot \frac{4}{3} \pi \lambda_d^3 = \frac{1.38 \times 10^6 T^{3/2}}{n^{1/2}}, \quad T \text{ v } K$$

$$\omega_p = (4 \pi n e^2 / m_e)^{1/2}$$

## Standard formulae

Name	Symbol	SI Formula (SI)	Formula (cgs)
Debye length	$\lambda_D$	$\left( \frac{\epsilon_0 k_B T_e}{e^2 n_e} \right)^{1/2} \text{ m}$	$\left( \frac{k_B T_e}{4 \pi e^2 n_e} \right)^{1/2} \text{ cm}$
Particles in Debye sphere	$N_D$	$n \frac{4 \pi}{3} \lambda_D^3$	$n \frac{4 \pi}{3} \lambda_D^3$
Plasma frequency (electrons)	$\omega_{pe}$	$\left( \frac{e^2 n_e}{\epsilon_0 m_e} \right)^{1/2} \text{ s}^{-1}$	$\left( \frac{4 \pi e^2 n_e}{m_e} \right)^{1/2} \text{ s}^{-1}$
Plasma frequency (ions)	$\omega_{pi}$	$\left( \frac{Z^2 e^2 n_i}{\epsilon_0 m_i} \right)^{1/2} \text{ s}^{-1}$	$\left( \frac{4 \pi Z^2 e^2 n_i}{m_i} \right)^{1/2} \text{ s}^{-1}$
Thermal velocity	$v_{te} = \omega_{pe} \lambda_D$	$\left( \frac{k_B T_e}{m_e} \right)^{1/2} \text{ ms}^{-1}$	$\left( \frac{k_B T_e}{m_e} \right)^{1/2} \text{ cms}^{-1}$
Electron gyrofrequency	$\omega_c$	$eB / m_e \text{ s}^{-1}$	$eB / m_e \text{ s}^{-1}$
Electron-ion collision frequency	$\nu_{ei}$	$\frac{\pi^{3/2} n_e Z e^4 \ln \Lambda}{2^{1/2} (4 \pi \epsilon_0)^2 m_e^2 v_{te}^3} \text{ s}^{-1}$	$\frac{4 (2 \pi)^{1/2} n_e Z e^4 \ln \Lambda}{3 m_e^2 v_{te}^3} \text{ s}^{-1}$
Coulomb-logarithm	$\ln \Lambda$	$\ln \frac{9 N_D}{Z}$	$\ln \frac{9 N_D}{Z}$

## Useful formulae

Plasma frequency	$\omega_{pe} = 5.64 \times 10^4 n_e^{\frac{1}{2}} \text{ s}^{-1}$
Critical density	$n_c = 10^{21} \lambda_L^{-2} \text{ cm}^{-3}$
Debye length	$\lambda_D = 743 T_e^{\frac{1}{2}} n_e^{-\frac{1}{2}} \text{ cm}$
Skin depth	$\delta = c/\omega_p = 5.31 \times 10^5 n_e^{-\frac{1}{2}} \text{ cm}$
Elektron-ion collision frequency	$\nu_{ei} = 2.9 \times 10^{-6} n_e T_e^{-\frac{3}{2}} \ln \Lambda \text{ s}^{-1}$
Ion-ion collision frequency	$\nu_{ij} = 4.8 \times 10^{-8} Z^4 \left(\frac{m_p}{m_i}\right)^{\frac{1}{2}} n_i T_i^{-\frac{3}{2}} \ln \Lambda \text{ s}^{-1}$
Quiver amplitude	$a_0 \equiv \frac{p_{osc}}{m_e c} = \left( \frac{I \lambda_L^2}{1.37 \times 10^{18} \text{ W cm}^{-2} \mu\text{m}^2} \right)^{\frac{1}{2}}$
Relativistic focussing threshold	$P_c = 17.5 \left(\frac{n_c}{n_e}\right) \text{ GW}$

$T_e$  in eV;  $n_e, n_i$  in  $\text{cm}^{-3}$ , wavelength  $\lambda_L$  in  $\mu\text{m}$

# $n_e(\mathbf{r},t) = n_0 + n'_e(\mathbf{r},t)$

In the momentum equation we have assumed that the rate of momentum loss from the electron gas due to collisions is negligible. Considering singly charged ions, the charge density is given by

$$\rho(\mathbf{r}, t) = -e[n_0 + n'_e(\mathbf{r}, t)] + en_0 = -en'_e(\mathbf{r}, t) \quad (1.4)$$

where the ion density was considered to be constant and uniform, and equal to  $n_0$  (neglecting ion motion). Therefore,

$$\nabla \cdot \mathbf{E}(\mathbf{r}, t) = \frac{\rho(\mathbf{r}, t)}{\epsilon_0} = -\frac{e}{\epsilon_0} n'_e(\mathbf{r}, t) \quad (1.5)$$

Eqs. (1.2), (1.3), and (1.5) constitute a complete set of equations to be solved for the variables  $n'_e(\mathbf{r}, t)$ ,  $\mathbf{u}_e(\mathbf{r}, t)$ , and  $\mathbf{E}(\mathbf{r}, t)$ . Taking the divergence of (1.3) and using (1.2) to substitute for  $\nabla \cdot \mathbf{u}_e$ , we obtain

$$\frac{\partial^2 n'_e(\mathbf{r}, t)}{\partial t^2} - \frac{en_0}{m_e} \nabla \cdot \mathbf{E}(\mathbf{r}, t) = 0 \quad (1.6)$$

Combining (1.5) and (1.6) to eliminate  $\nabla \cdot \mathbf{E}$ , yields

$$\frac{\partial^2 n'_e(\mathbf{r}, t)}{\partial t^2} + \omega_{pe}^2 n'_e(\mathbf{r}, t) = 0 \quad (1.7)$$

where

$$\omega_{pe} = \left( \frac{n_0 e^2}{m_e \epsilon_0} \right)^{1/2} \quad (1.8)$$

is called the *electron plasma frequency*. Equation (1.7) shows that  $n'_e(\mathbf{r}, t)$  varies harmonically in time at the electron plasma frequency,

$$n'_e(\mathbf{r}, t) = n'_e(\mathbf{r}) \exp(-i\omega_{pe}t) \quad (1.9)$$

In fact, all first-order perturbations have a harmonic time variation at the plasma frequency  $\omega_{pe}$ . To justify this statement it is convenient to start with the assumption that all first-order quantities vary harmonically in time, as  $\exp(-i\omega t)$ . Eqs. (1.2) and (1.3) become, in this case,

$$n'_e = -\frac{i}{\omega} n_0 \nabla \cdot \mathbf{u}_e \quad (1.10)$$

$$\mathbf{u}_e = -\frac{ie}{\omega m_e} \mathbf{E} \quad (1.11)$$

which can be combined into

$$n'_e = -\frac{n_0 e}{\omega^2 m_e} \nabla \cdot \mathbf{E} \quad (1.12)$$

Substituting this expression for  $n'_e$  into (1.5), yields

$$\left( 1 - \frac{\omega_{pe}^2}{\omega^2} \right) \nabla \cdot \mathbf{E} = 0 \quad (1.13)$$

which shows that a nontrivial solution requires  $\omega = \omega_{pe}$ . Therefore, all the perturbations vary harmonically in time at the electron plasma frequency. Further, for all variables there is no change in phase from point to point, implying the absence of wave propagation. The oscillations are therefore *stationary*. Also, (1.11) shows that the electron velocity is in the same direction as the electric field, so that these oscillations are *longitudinal*.

The electron plasma oscillations are also *electrostatic* in character. In order to show this aspect of the oscillations, consider Maxwell curl equations with a harmonic time variation,

$$\nabla \times \mathbf{E} = i\omega \mathbf{B} \quad (1.14)$$

$$\nabla \times \mathbf{B} = \mu_0(\mathbf{J} - i\omega\epsilon_0\mathbf{E}) \quad (1.15)$$

The electric current density is given by

$$\mathbf{J} = -en_0\mathbf{u}_e = \frac{in_0e^2}{\omega m_e} \mathbf{E} \quad (1.16)$$

where we have used (1.11) for  $\mathbf{u}_e$ . Therefore,

$$\nabla \times \mathbf{B} = -i\omega\mu_0\epsilon_0\epsilon_r\mathbf{E} \quad (1.17)$$

where we have defined a relative permittivity by

$$\epsilon_r = 1 - \frac{\omega_{pe}^2}{\omega^2} \quad (1.18)$$

For the electron plasma oscillations we have  $\omega = \omega_{pe}$ , so that  $\epsilon_r = 0$ , and (1.17) reduces to

$$\nabla \times \mathbf{B} = 0 \quad (1.19)$$

Since the curl of the gradient of any scalar function vanishes identically,

## Vlastní oscilace a srážky

- Pozor jiné jednotky

$$\omega_p = (4\pi n e^2 / m_e)^{1/2}$$

$$\tau_{collision} \sim 1 / \omega_{collision}$$

## Podmínka ideálnosti plazmatu

$$\omega_p / \omega_{collision} > 1$$

Many types of collisions .....

$$\omega_p = (4\pi n e^2 / m_e)^{1/2}$$

$$l_d = 69 \sqrt{\frac{T}{n}}, \quad T \text{ in } K, n \text{ in } m^{-3}$$

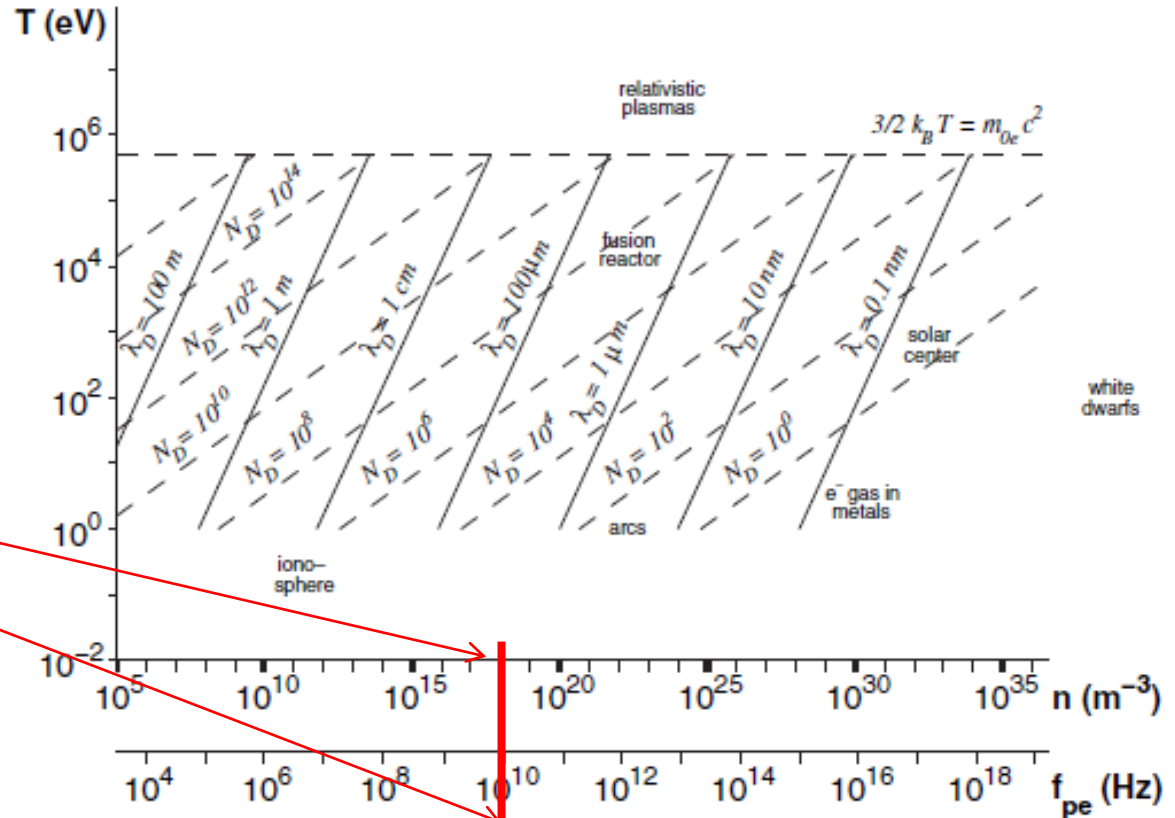


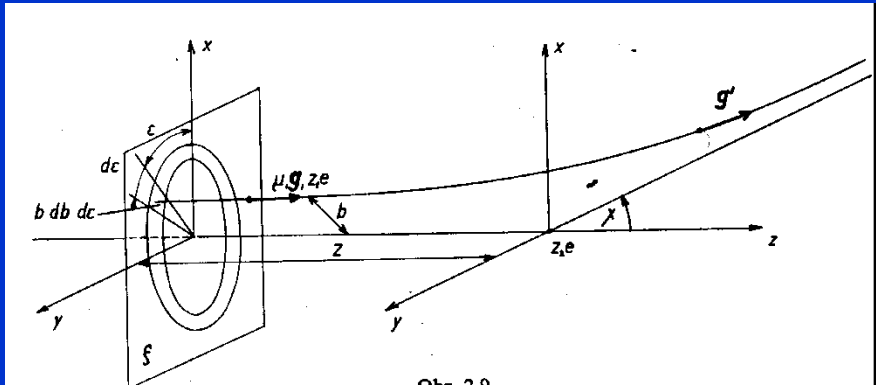
Fig. 1.4. Lines of constant Debye length  $\lambda_D$  and plasma parameter  $N_D$ , respectively, in the diagram of typical plasmas

$$f_p = 9 \sqrt{n(10^{12} \text{ cm}^{-3})} \text{ GHz}$$

$$\gamma = ne^6 / (kT)^3 \lll 1$$

# Zvláštnosti coulombovského rozptylu

- Coulombovský rozptyl
- Coulombovský logaritmus



$$F = - \frac{d}{dt} \sum_{(i)} p_{1i} = - \frac{g}{g} \mu \sum_{(i)} \frac{d}{dt} g_z,$$

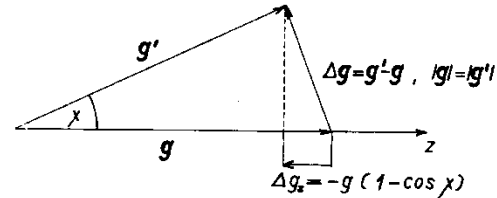
## Základy klasické a kvantové fyziky plazmatu

„Velký Kracík“

J.Kracík, B. Šesták a L. Aubrecht

Academia Praha 1974

kde suma přes  $i$  značí sečítání přes všechny částice svazku. Výraz  $\sum_{(i)} (dg_z/dt)$  je možno celkem snadno určit: fyzikálně totiž znamená změnu relativní rychlosti svazku částic za jednotku času, nebo – což je totéž – změnu relativní rychlosti jedné částice svazku vlivem srážky, vynásobenou počtem srážek za jednotku času (předpokládáme, že interakci svazku můžeme rozdělit na jednotlivé binární srážky).



Obr. 2.10.

Změnu relativní rychlosti jedné částice svazku  $\Delta g_z$  určíme snadno z obr. 2.10. Snadno zjistíme, že

$$(2.136) \quad \Delta g_z = -g(1 - \cos \chi) = -2g \sin^2 \frac{\chi}{2}.$$

Počet srážek za jednotku času závisí zřejmě na průřezu svazku; za jednotku času „dosáhnou“ sílového centra pouze ty částice, jejichž vzdálenost  $Z \leq g \cdot 1 \text{ sec}$ . Počet částic, které projdou elementární plochou  $b db dz$  za jednotku času a „dosáhnou“ sílového centra, pak zřejmě bude

$$(2.137) \quad g n_1 b db dz,$$

kde  $n_1$  je koncentrace částic svazku. Vynásobíme-li nyní (2.136) výrazem (2.137) a zintegrujeme-li výsledek přes celou rovinu  $\xi$ , dostaneme, že

$$(2.138) \quad \sum_{(i)} \frac{d}{dt} g_z = \int_0^\infty db \int_0^{2\pi} dz \left( -2g \sin^2 \frac{\chi}{2} g n_1 b \right)$$

a odtud

$$(2.139) \quad F = \frac{g}{g} 2g^2 n_1 \mu 2\pi \int_0^\infty b \sin^2 \frac{\chi}{2} db.$$

Uvážíme-li nyní, že podle (2.106)  $\text{tg } \chi/2 = b_0/b$ , můžeme dále psát, že

$$(2.140) \quad F = \frac{g}{g} \mu 4\pi n_1 g^2 b_0^2 \int_0^\infty \frac{b db}{b_0^2 + b^2}.$$

Integrál

$$(2.141) \quad L = \int_0^\infty \frac{b db}{b_0^2 + b^2}$$

# Zvláštnosti coulombovského rozptylu

- Coulombovský rozptyl
- Coulombovský logaritmus

$$F = \frac{g}{g} \mu 4\pi n_1 g^2 b_0^2 \int_0^\infty \frac{b db}{b_0^2 + b^2}.$$

$$L = \int_0^\infty \frac{b db}{b_0^2 + b^2}$$

In(E.kinetická/E.potenciální)  
Ve vzdalenosti  $l_d$

Už jsme ukázali, že platí...

$$b_0 = \frac{e^2}{4\pi\epsilon_0\mu g^2} \quad l_d^2 = \frac{\epsilon_0 kT}{ne^2}$$

$$\frac{b_0}{l_d} = \frac{\frac{1}{9} \left(\frac{3}{2} kT\right)}{N \frac{1}{2} \mu g^2} \lll 1$$

logaritmicky diverguje pro velké hodnoty parametru  $b$ . Abychom dostali pro  $F$  konečné hodnoty, musíme v  $L$  nějakým způsobem omezit horní integrační mez.

V předchozím odstavci jsme si ukázali, že efektivní interakční potenciál částic je řádově dosahu  $l_d$ ; binární coulombovské srážky je pak možno uvažovat pouze pro srážkový parametr  $b \leq l_d$ . Za horní integrační mez  $L$  je tedy možno zvolit  $l_d$ . Dostaneme

$$(2.142) \quad L = \int_0^{l_d} \frac{b db}{b_0^2 + b^2} = \ln \sqrt{\left(\frac{b_0^2 + l_d^2}{b_0^2}\right)}.$$

Jestliže dále platí, že  $l_d \gg |b_0|$ , můžeme (2.142) přepsat do tvaru

$$(2.143) \quad L = \ln \left(\frac{l_d}{|b_0|}\right) = \ln \frac{l_d}{\frac{Z_1 Z_2 e^2}{4\pi\epsilon_0 \mu g^2}},$$

kde jsme za  $b_0$  dosadili (2.97) a síla  $F$ , určená rovnicí (2.140), má nyní tvar

$$(2.144) \quad F = L \frac{g}{g^3} \frac{Z_1^2 Z_2^2 e^4}{4\pi\epsilon_0} \frac{n_1}{\mu}.$$

Veličina  $L$  určená rovnicí (2.143) se nazývá coulombovský logaritmus.

Předpokládali jsme, že platí

$$(2.145) \quad l_d \gg b_0.$$

Tato podmínka však plyne přímo z předpokladů (2.120), které mají platit pro libovolné  $r$ . Položme tedy  $r = l_d$  a předpokládejme pro jednoduchost, že  $Z_1 = Z_2 = 1$ . Sečtením nerovností (2.120) ( $\varphi(r)$  bereme v prvním přiblížení jako coulombovský) dostaneme

$$(2.146) \quad \frac{2e^2}{4\pi\epsilon_0} \frac{1}{l_d} \ll k(T_1 + T_2),$$

což je možno přepsat jako

$$(2.147) \quad l_d \gg \frac{2e^2}{4\pi\epsilon_0 k(T_1 + T_2)}.$$

Protože ale  $3k(T_1 + T_2) \sim \mu g^2$ , je možno (2.147) dále přepsat na

$$(2.148) \quad l_d \gg \frac{6e^2}{4\pi\epsilon_0 \mu g^2} \sim b_0.$$

Odtud již vidíme, že nerovnost (2.145) je již splněna, platí-li (2.120), nebo jinými slovy, předpokládáme (stejně jako v 1. kapitole), že interakční energie částic je mnohem menší ve srovnání s jejich tepelnou energií. K tomuto výsledku je možno dojít ještě trochu jiným způsobem. Aby „ořezání“ integrálu  $L$  (2.141) mělo fyzikální smysl,



# Další kroky

$$(2.140) \quad F = \frac{g}{g} \mu 4\pi n_1 g^2 b_0^2 \int_0^\infty \frac{b db}{b_0^2 + b^2}$$

Integrál

$$(2.141) \quad L = \int_0^\infty \frac{b db}{b_0^2 + b^2}$$

$$(2.151) \quad |F| = \text{konst } L,$$

kde  $L$  je dáno rovnicí (2.142), resp. (2.143). Sledujme dále, jak závisí  $|F|$  na úhlu rozptylu částic. Na základě (2.106) můžeme tvrdit, že pro  $b \gg b_0$  je

$$(2.152) \quad \chi = \frac{2b_0}{b} \ll 1$$

a tedy rozptyl na malé úhly odpovídá dalekým průletům. Hranici mezi dalekými a blízkými průlety stanovme pro  $b = 2b_0$ . Rovnici (2.151) můžeme nyní psát ve tvaru

$$(2.153) \quad |F| = \text{konst} \int_0^{l_d} \frac{b db}{b_0^2 + b^2} = \text{konst} (L_{b.p.} + L_{d.p.}),$$

kde

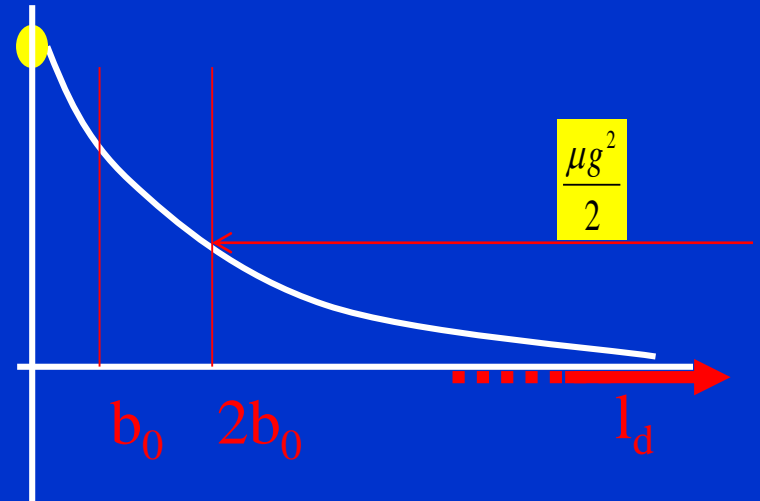
$$(2.154) \quad L_{b.p.} = \int_0^{2b_0} \frac{b db}{b_0^2 + b^2} = \ln 3 \sim 1$$

je coulombovský logaritmus odpovídající blízkým průletům a

$$(2.155) \quad L_{d.p.} = \int_{2b_0}^{l_d} \frac{b db}{b_0^2 + b^2} = \ln \frac{l_d}{b_0} - \ln 3 \sim \ln \frac{l_d}{b_0} = L \gg 1$$

je coulombovský logaritmus odpovídající dalekým průletům. Z (2.153) je zřejmé, že střední sílu, která působí na částici 2 ze strany svazku částic 1, můžeme rozdělit na dvě části a to na sílu  $F_{b.p.}$ , odpovídající blízkým průletům, a  $F_{d.p.}$ , odpovídající dalekým průletům; pro  $F_{b.p.}$  a  $F_{d.p.}$  platí

$$(2.156) \quad |F_{b.p.}| \sim L_{b.p.}$$



$$\frac{b_0}{l_d} = \frac{1}{9} \frac{(3/2 kT)}{N^{1/2} \mu g^2} \ll \ll 1$$

$$F_{dp} / F_{bp} \sim L \gg \gg 1$$

# Závislost na teplotě

V závěru tohoto odstavce uvedeme ještě několik poznámek, týkajících se coulombovského logaritmu  $L$ . Z (2.143) vidíme, že  $L$  závisí logaritmičticky na  $\mu g^2$ . V důsledku této logaritmičké závislosti je možno v mnoha případech nahradit  $\mu g^2$  střední hodnotou této veličiny nebo tepelnou rychlostí částic, tj. můžeme položit  $\mu g^2 \sim \frac{3}{2}k(T_1 + T_2)$ . Abychom si utvořili představu, jak závisí  $L$  na teplotě a koncentraci, předpokládejme pro jednoduchost, že  $T_1 = T_2 = T$ . Coulombovský logaritmus má pak jednoduchý tvar

$$(2.159) \quad L = \ln \left[ \frac{12\pi}{n^{1/2}} \left( \frac{\epsilon_0 k T}{e^2} \right)^{3/2} \right].$$

kl - klasický  
kv - kvantový

V jednoduchém případě, kdy  $\mu g^2 \sim \frac{3}{2}k(T_1 + T_2)$ ,  $T_1 = T_2 = T$  a  $|Z_1| = |Z_2| = 1$ , je možno (2.161) přepsat na tvar

$$(2.162) \quad L_{kv} = L_{kl} + \ln \left( \frac{4,2 \cdot 10^5}{T} \right)^{1/2},$$

kde  $L_{kl}$  je dáno vztahem (2.159). Hodnoty coulombovského logaritmu vypočtené z (2.159) a (2.161) jsou uvedeny v tab. 1; nejsou zde uvedeny hodnoty coulombovského logaritmu pro vysoké koncentrace a nízké teploty, protože v těchto případech je námi uvedená teorie neplatná.

Tabulka 1. Hodnoty coulombovského logaritmu  $L$ .

Koncentrace elektronů [m <sup>-3</sup> ]	Teplota K									
	50	100	5.10 <sup>2</sup>	10 <sup>3</sup>	5.10 <sup>3</sup>	10 <sup>4</sup>	5.10 <sup>4</sup>	10 <sup>5</sup>	5.10 <sup>5</sup>	10 <sup>6</sup>
10 <sup>10</sup>	10,69	11,73	14,14	15,18	17,60	18,63	21,05	22,09	24,42	25,11
10 <sup>11</sup>	9,54	10,58	12,99	14,03	16,44	17,48	19,88	20,94	23,26	23,96
10 <sup>12</sup>	8,39	9,42	11,84	12,88	15,29	16,33	18,75	19,79	22,11	22,81
10 <sup>13</sup>	7,23	8,27	10,69	11,73	14,14	15,18	17,60	18,63	20,96	21,65
10 <sup>14</sup>	6,08	7,12	9,54	10,58	12,99	14,03	16,44	17,48	19,81	20,50
10 <sup>15</sup>	4,93	5,97	8,39	9,42	11,84	12,88	15,29	16,33	18,66	19,36
10 <sup>16</sup>	—	4,82	7,23	8,27	10,69	11,73	14,14	15,18	17,51	18,20
10 <sup>17</sup>	—	—	6,08	7,12	9,54	10,58	12,99	14,03	16,36	17,05
10 <sup>18</sup>	—	—	4,93	5,97	8,39	9,42	11,84	12,88	15,21	15,90
10 <sup>19</sup>	—	—	—	4,82	7,23	8,27	10,69	11,73	14,06	14,75
10 <sup>20</sup>	—	—	—	—	6,08	7,12	9,54	10,58	12,90	13,60
10 <sup>21</sup>	—	—	—	—	4,93	5,97	8,39	9,42	11,75	12,45
10 <sup>22</sup>	—	—	—	—	—	4,92	7,23	8,27	10,60	11,30
10 <sup>23</sup>	—	—	—	—	—	—	6,08	7,12	9,45	10,14
10 <sup>24</sup>	—	—	—	—	—	—	4,93	5,97	8,30	8,99

## Literatura ke kap. 2.

- JANCEL R., KAHAN TH.: Electrodynamics of plasmas. J. Wiley & Sons, London (1966).  
 DELCROIX J. L.: Plasma physics. J. Wiley & Sons, London (1965).  
 LANDAU L. D., LIFŠIC E. M.: Kvantovaja mechanika. Moskva (1963).  
 SIVUCHIN D. V.: Voprosy teorij plazmy 4., red. M. A. Leontovič, Moskva (1964).  
 TRUBNIKOV B. A.: Voprosy teorij plazmy 1., red. M. A. Leontovič, Moskva (1963).  
 SPITZER L.: Physics of fully ionized gases. Interscience, New York (1956) (ruský překlad Spitzer L.: Fizika polnostju ionizovannogo gaza. Moskva (1965)).

**TU SOM SKONCIL xx. 10. 202X**

# Další kroky

# Další kroky

# Další kroky

# Další kroky

# Další kroky



# Rozdělovací funkce

$$f(\vec{r}, \vec{v}, t)$$

Počet částic v  $\mathbf{r}, \mathbf{v}, t$  v objemu  $d\mathbf{r}d\mathbf{v}$

$$f d\vec{r} d\vec{v}$$

kde integraci se míní integrace přes celý rychlostní prostor a přes objem, ve kterém je daný systém uzavřen. Potom střední hodnota funkce  $g(\mathbf{r}, \mathbf{v})$  je dána výrazem

$$(3.2) \quad \bar{g} = \frac{1}{N} \iiint g(\mathbf{r}, \mathbf{v}) f(\mathbf{r}, \mathbf{v}, t) d\mathbf{r} d\mathbf{v}.$$

Podobně pro lokální střední hodnotu (střední hodnotu, která se může obecně měnit v prostoru od bodu k bodu) funkce  $g(\mathbf{r}, \mathbf{v})$  dostáváme

$$(3.3) \quad \overline{g(\mathbf{r}, t)} = \frac{1}{n} \int g(\mathbf{r}, \vec{v}) f(\mathbf{r}, \mathbf{v}, t) d\mathbf{v},$$

kde

$$(3.4) \quad n(\mathbf{r}, t) = \int f(\mathbf{r}, \mathbf{v}, t) d\mathbf{v}$$

je koncentrace částic v místě  $\mathbf{r}$ ;  $n(\mathbf{r}, t) d\mathbf{r}$  je potom počet částic v objemu  $d\mathbf{r}$  kolem bodu  $\mathbf{r}$ .\*)

Pomocí definice (3.3) můžeme nyní zavést některé důležité veličiny, které budou pro nás v dalším textu nepostradatelné.

Tak například střední rychlost částic v bodě  $(\mathbf{r}, t)$   $\mathbf{v}_0(\mathbf{r}, t)$  bude podle (3.3) dána vztahem

$$(3.5) \quad \bar{\mathbf{v}}_0(\mathbf{r}, t) = \frac{1}{n} \int \mathbf{v} f(\mathbf{r}, \mathbf{v}, t) d\mathbf{v}.$$

Velmi často bývá výhodné vztahovat rychlost částic ke střední rychlosti  $\mathbf{v}_0(\mathbf{r}, t)$ ; zavedeme tedy pojem relativní rychlosti  $\mathbf{V}$  vzhledem ke střední rychlosti  $\mathbf{v}_0(\mathbf{r}, t)$  vztahem

$$(3.6) \quad \mathbf{V} = \mathbf{v} - \mathbf{v}_0(\mathbf{r}, t).$$

Potom s ohledem na definici  $\mathbf{v}_0(\mathbf{r}, t)$  (3.5) je zřejmé, že

$$(3.7) \quad \bar{\mathbf{V}} = \bar{\mathbf{v}} - \mathbf{v}_0(\mathbf{r}, t) = 0.$$

V systému, který není v rovnovážném stavu, existuje jistý počet gradientů, jako například koncentrace, relativní rychlosti, teploty atd., které způsobují přenos hmotnosti, impulsu, teploty a dalších veličin, jež charakterizují vlastnosti částic daného systému. Označíme-li tyto veličiny jako  $\psi(\mathbf{v})$ , pak tok veličiny  $\psi$  jednotkovou plochou, která se pohybuje rychlostí  $\mathbf{v}_0$ \*\*) za jednotku času bude zřejmě roven

$$(3.8) \quad \Psi = \bar{\Psi} = \int \psi(\mathbf{V}) \mathbf{V} f d\mathbf{V}.$$

\*) Pro jednoduchost zápisu budeme místo „v  $d\mathbf{r}$  kolem bodu  $\mathbf{r}$ “ říkat „v bodě  $\mathbf{r}$ “.

\*\*) V dalším textu budeme vždy uvažovat tok plochou, která je v klidu vzhledem ke střední rychlosti částic systému.

# Odvození Boltzmannovy rovnice

## 3.2 Odvození Boltzmannovy rovnice

Z předchozích úvah a z definice rozdělovací funkce vyplývá, že k popisu systému  $N$  částic plně postačí, budeme-li znát rozdělovací funkci tohoto systému (případně rozdělovací funkce  $f_i$  jednotlivých druhů částic systému). Budeme tedy v dalším textu sledovat zákony, kterými je určeno chování  $f_i$ , za předpokladu, že platí následující podmínky:

1. Liouvillov teorém a představy o srážkách částic platí podle našich dosavadních klasických představ;
2. plyn je natolik zředěný, že můžeme uvažovat pouze elastické binární srážky;
3. je splněn předpoklad molekulárního chaosu, tj. stav částice 1 v bodě  $(\mathbf{r}_1, \mathbf{v}_1)$  a částice 2 v bodě  $(\mathbf{r}_2, \mathbf{v}_2)$  jsou na sobě nezávislé.
4. vnější síla  $\mathbf{F}_i$ , působící na  $i$ -tý druh částic, je nezávislá na rychlosti a je malá ve srovnání se silami, které vznikají v době srážek.

Mějme nyní objemový element  $\mu$  prostoru se středem v bodě  $\mathbf{r}, \mathbf{v}$ , o velikosti  $d\mathbf{r} d\mathbf{v}$ ; v čase  $t$  obsahuje tento  $f_i(\mathbf{r}, \mathbf{v}, t) d\mathbf{r} d\mathbf{v}$  částic  $i$ -tého druhu. Jestliže zanedbáme srážky mezi částicemi, pak v čase  $t + dt$  vlivem vnější síly všechny tyto částice budou v objemovém elementu  $d\mathbf{r}$  kolem bodu  $\mathbf{r} + \mathbf{v} dt$  a v rychlostním elementu  $d\mathbf{v}$  kolem bodu  $\mathbf{v} + (\mathbf{F}_i/m_i) dt$  (předpokládáme, že síla  $\mathbf{F}_i$  se téměř nezmění uvnitř  $d\mathbf{r}$  za  $dt$ ). Podle Liouvillova teorému tedy platí

$$f_i(\mathbf{r} + \mathbf{v} dt, \mathbf{v} + (\mathbf{F}_i/m) dt, t + dt) d\mathbf{r} d\mathbf{v}_i = f_i(\mathbf{r}, \mathbf{v}, t) d\mathbf{r} d\mathbf{v}_i.$$

Vlivem srážek se však tyto dva členy budou lišit. Označíme-li

$$(3.32) \quad \frac{\delta_e f_i}{\delta t} d\mathbf{r} d\mathbf{v}_i dt$$

jako změnu počtu částic  $i$ -tého druhu v  $d\mathbf{r} d\mathbf{v}_i$  způsobenou srážkami za čas  $dt$ , musí zřejmě platit

$$(3.33) \quad f_i(\mathbf{r} + \mathbf{v} dt, \mathbf{v} + (\mathbf{F}_i/m_i) dt, t + dt) d\mathbf{r} d\mathbf{v}_i - f_i(\mathbf{r}, \mathbf{v}, t) d\mathbf{r} d\mathbf{v}_i = \frac{\delta_e f_i}{\delta t} d\mathbf{r} d\mathbf{v}_i dt.$$

Rozvineme-li první člen na levé straně (3.32) do Taylorovy řady, dostaneme

$$(3.34) \quad \frac{\partial f_i}{\partial t} + \mathbf{v}_i \cdot \nabla_{\mathbf{r}} f_i + \frac{\mathbf{F}_i}{m_i} \cdot \nabla_{\mathbf{v}} f_i = \frac{\delta_e f_i}{\delta t}.$$

Na pravé straně (3.33) stojí nyní srážkový člen  $(\delta_e f_i/\delta t)$ , kterému nyní musíme dát explicitní tvar. Člen (3.32) je roven počtu částic  $i$ -tého druhu, které se dostanou do objemového elementu  $d\mathbf{r} d\mathbf{v}_i$  vlivem srážek s ostatními druhy částic za čas  $dt$  (označí-

## BBGKY rovnice aplikace na $s=1, s=2$

Shrnutím předchozích výsledků dostáváme konečně požadovanou rovnici pro  $F_s$  ve tvaru

$$(1.52) \quad \frac{\partial F_s}{\partial t} = [H_s; F_s] + \frac{N-s}{V} \sum_{i=1}^s \int [\Phi_{i,s+1}; F_{s+1}] d\mathbf{r}_{s+1} d\mathbf{p}_{s+1},$$

Velmi důležitý a pro fyziku plazmatu nepostradatelný je tvar rovnice (1.52) pro  $s=1$  a  $s=2$ . Pro  $s=1$  dostaneme

$$(1.54) \quad \frac{\partial F_1}{\partial t} = \nabla_{\mathbf{r}_1} H_1 \cdot \nabla_{\mathbf{p}_1} F_1 - \nabla_{\mathbf{p}_1} H_1 \cdot \nabla_{\mathbf{r}_1} F_1 + \frac{N-1}{V} \int (\nabla_{\mathbf{r}_1} \Phi_{12} \cdot \nabla_{\mathbf{p}_1} F_2 - \nabla_{\mathbf{p}_1} \Phi_{12} \cdot \nabla_{\mathbf{r}_1} F_2) d\mathbf{r}_2 d\mathbf{p}_2$$

a pro  $s=2$  dostaneme

$$(1.55) \quad \frac{\partial F_2}{\partial t} = [H_1 + H_2 + \Phi_{12}; F_2] + \frac{N-2}{V} \int \sum_{i=1}^2 [\Phi_{i3}; F_3] d\mathbf{r}_3 d\mathbf{p}_3.$$

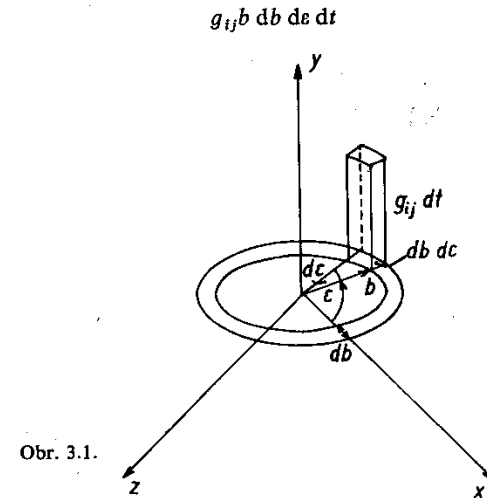
# Další kroky

me  $\sum_j A_{ij}^+ d\mathbf{r} dv_i dt$ ), minus počet částic  $i$ -tého druhu, které tento objemový element opustí vlivem srážek s ostatními druhy částic za stejný časový interval  $dt$  (označíme  $\sum_j A_{ij}^- d\mathbf{r} dv_i dt$ ). Symbolicky tedy můžeme psát

$$(3.35) \quad \frac{\delta_e f_i}{\delta t} d\mathbf{r} dv_i dt = \sum_j (A_{ij}^+ - A_{ij}^-) d\mathbf{r} dv_i dt,$$

kde sečítáme přes všechny druhy částic.

Věnujme se nejdříve členu  $A_{ij}^- d\mathbf{r} dv_i dt$ . Nechť částice  $i$ -tého druhu je umístěna v bodě  $\mathbf{r}$  a nechť se pohybuje rychlostí  $\mathbf{v}_i$ . Spočteme pravděpodobnost toho, že tato částice se za dobu  $dt$  srazí s částicí  $j$ -tého druhu. Elastická srážka dvou částic je ve válcových souřadnicích charakterizována relativní rychlostí těchto částic  $g_{ij} = |\mathbf{v}_i - \mathbf{v}_j|$ , srážkovým parametrem  $b$  a úhlem  $\varepsilon$  mezi rovinou trajektorie a libovolnou rovinou referenční (viz kapitolu 2). Počet srážek částice  $i$ -tého druhu za čas  $dt$  s částicemi  $j$ -tého druhu, jejichž relativní rychlost je  $g_{ij}$ , srážkový parametr je v mezích  $b$ ,  $b + db$  a úhel v mezích  $\varepsilon$ ,  $\varepsilon + d\varepsilon$  potom bude roven počtu částic  $j$ -tého druhu, které jsou obsaženy v objemovém elementu



(viz obr. 3.1). Vzhledem k definici  $f_j(\mathbf{r}, \mathbf{v}_j, t)$  je tento počet částic roven výrazu

$$f_j(\mathbf{r}, \mathbf{v}_j, t) g_{ij} b db d\varepsilon dt.$$

Celkový počet srážek částice  $i$ -tého druhu se všemi částicemi druhu  $j$ -tého za čas  $dt$  potom zřejmě bude

$$(3.36) \quad dt \iiint f_j(\mathbf{r}, \mathbf{v}_j, t) g_{ij} b db d\varepsilon dv_j,$$

# Plasma frequency

## 1.3.4 Plasma Frequency

Microscopic deviations from quasi-neutrality in a plasma result in plasma (or Langmuir) oscillations. They represent the most simple form of oscillations in a plasma, and they are an obvious example for the collective behavior of the plasmas (see Chap. 2 in Part I on waves in plasmas). The equation of motion

$$m_e \frac{d^2 x}{dt^2} = -eE = -\frac{n_e e^2 x}{\epsilon_0} \quad (1.15)$$

of a plane plasma sheath in linear approximation relates the space charge electric field  $E$  to the separation  $x$  of the electrons from the ions and hence describes non-damped Langmuir oscillations with their electron plasma frequency

$$\omega_{pe} = \left( \frac{n_e e^2}{\epsilon_0 m_e} \right)^{1/2}. \quad (1.16)$$

The total plasma frequency is given by

$$\omega_p^2 = \omega_{pe}^2 + \omega_{pi}^2 \quad (1.17)$$

with the ion plasma frequency

$$\omega_{pi} = \left( \frac{n_i Z^2 e^2}{\epsilon_0 m_i} \right)^{1/2}, \quad (1.18)$$

which can be approximated by the electron plasma frequency because of the large mass ratio of ions to electrons. Due to the mere square root dependence on the electron density  $n_e$  the plasma frequency  $\omega_p$  can replace the electron density as abscissa in all the plasma diagrams, i.e.  $f_{pe}(\text{s}^{-1}) = \omega_{pe}/2\pi = 8.98 (n_e)^{1/2}$ .

# Plasma properties

With these expressions some important plasma properties can be given:

- A plasma is quasi-neutral:  $n = n_e = n_i$  (for ion charge  $Z = 1$ ); generally  $n_e = \sum_j Z_j n_{i,j}$ .
- The product of Debye length  $\lambda_{D_e}$  ( $\lambda_{D_i}$ ) and  $\omega_{pe}$  ( $\omega_{pi}$ ) approximately equals the electron (ion) thermal speed  $v_{th,e} \approx \sqrt{3}\lambda_{D_e}\omega_{pe}$  or  $v_{th,i} \approx \sqrt{3}\lambda_{D_i}\omega_{pi}$ , respectively.
- Ideal plasmas are characterized by the following relations:

$$\lambda_D \ll L \quad (1.19)$$

$$N_D \gg 1 \quad \text{or} \quad \lambda_L \ll \lambda_D \quad \text{or} \quad \Gamma_c \ll 1 \quad (1.20)$$

$$\omega_p \tau > 1, \quad (1.21)$$

where  $L$  is the plasma dimension, and  $\tau$  stands for the collision time of the charged plasma particles with neutrals.

The first condition reflects the plasma being a many-particle ensemble, the particle charges of which are shielded outside their Debye sphere. The last condition expresses the Coulomb interaction as the dominant interaction mechanism in a plasma, as compared to collisions with neutral particles.

In **plasmas** and **electrolytes**, the **Debye length** (also called **Debye radius**), named after **Peter Debye**, is a measure of a **charge carrier's** net electrostatic effect in a **solution** and how far its electrostatic effect persists.<sup>[1]</sup> A **Debye sphere** is a volume whose radius is the Debye length. With each Debye length, charges are increasingly **electrically screened**. Every Debye-length  $\lambda_D$ , the electric potential will decrease in magnitude by  $1/e$ . Debye length is an important parameter in **plasma physics**, **electrolytes**, and **colloids** (**DLVO theory**). The corresponding Debye screening wave vector  $k_D = 1/\lambda_D$  for particles of density  $n$ , charge  $q$  at a temperature  $T$  is given by  $k_D^2 = 4\pi n q^2 / (k_B T)$  in **Gaussian units**. Expressions in MKS units will be given below. The analogous quantities at very low temperatures ( $T \rightarrow 0$ ) are known as the **Thomas–Fermi length** and the Thomas–Fermi wave vector. They are of interest in describing the behaviour of electrons in metals at room temperature.

The Debye length arises naturally in the thermodynamic description of large systems of mobile charges. In a system of  $N$  different species of charges, the  $j$ -th species carries charge  $q_j$  and has concentration  $n_j(\mathbf{r})$  at position  $\mathbf{r}$ . According to the so-called "primitive model", these charges are distributed in a continuous medium that is characterized only by its **relative static permittivity**,  $\epsilon_r$ . This distribution of charges within this medium gives rise to an **electric potential**  $\Phi(\mathbf{r})$  that satisfies **Poisson's equation**:

$$\epsilon \nabla^2 \Phi(\mathbf{r}) = - \sum_{j=1}^N q_j n_j(\mathbf{r}) - \rho_{\text{ext}}(\mathbf{r}),$$

where  $\epsilon \equiv \epsilon_r \epsilon_0$ ,  $\epsilon_0$  is the **electric constant**, and  $\rho_{\text{ext}}$  is a charge density external (logically, not spatially) to the medium.

The mobile charges not only contribute in establishing  $\Phi(\mathbf{r})$  but also move in response to the associated **Coulomb force**,  $-q_j \nabla \Phi(\mathbf{r})$ . If we further assume the system to be in **thermodynamic equilibrium** with a **heat bath** at **absolute temperature**  $T$ , then the concentrations of discrete charges,  $n_j(\mathbf{r})$ , may be considered to be thermodynamic (ensemble) averages and the associated electric potential to be a thermodynamic **mean field**. With these assumptions, the concentration of the  $j$ -th charge species is described by the **Boltzmann distribution**,

$$n_j(\mathbf{r}) = n_j^0 \exp\left(-\frac{q_j \Phi(\mathbf{r})}{k_B T}\right),$$

where  $k_B$  is **Boltzmann's constant** and where  $n_j^0$  is the mean concentration of charges of species  $j$ .

Identifying the instantaneous concentrations and potential in the Poisson equation with their mean-field counterparts in Boltzmann's distribution yields the **Poisson–Boltzmann equation**:

$$\epsilon \nabla^2 \Phi(\mathbf{r}) = - \sum_{j=1}^N q_j n_j^0 \exp\left(-\frac{q_j \Phi(\mathbf{r})}{k_B T}\right) - \rho_{\text{ext}}(\mathbf{r}).$$

Solutions to this nonlinear equation are known for some simple systems. Solutions for more general systems may be obtained in the high-temperature (weak coupling) limit,  $q_j \Phi(\mathbf{r}) \ll k_B T$ , by **Taylor expanding** the exponential:

$$\exp\left(-\frac{q_j \Phi(\mathbf{r})}{k_B T}\right) \approx 1 - \frac{q_j \Phi(\mathbf{r})}{k_B T}.$$

This approximation yields the linearized Poisson–Boltzmann equation

$$\epsilon \nabla^2 \Phi(\mathbf{r}) = \left( \sum_{j=1}^N \frac{n_j^0 q_j^2}{k_B T} \right) \Phi(\mathbf{r}) - \sum_{j=1}^N n_j^0 q_j - \rho_{\text{ext}}(\mathbf{r})$$

which also is known as the **Debye–Hückel equation**.<sup>[2][3][4][5][6]</sup> The second term on the right-hand side vanishes for systems that are electrically neutral. The term in parentheses divided by  $\epsilon$ , has the units of an inverse length square and by **dimensional analysis** leads to the definition of the characteristic length scale

$$\lambda_D = \left( \frac{\epsilon k_B T}{\sum_{j=1}^N n_j^0 q_j^2} \right)^{1/2}$$

that commonly is referred to as the Debye–Hückel length. As the only characteristic length scale in the Debye–Hückel equation,  $\lambda_D$  sets the scale for variations in the potential and in the concentrations of charged species. All charge species contribute to the Debye–Hückel length in the same way, regardless of the sign of their charges. For an electrically neutral system, the Poisson equation becomes

$$\nabla^2 \Phi(\mathbf{r}) = \lambda_D^{-2} \Phi(\mathbf{r}) - \frac{\rho_{\text{ext}}(\mathbf{r})}{\epsilon}$$

To illustrate Debye screening, the potential produced by an external point charge  $\rho_{\text{ext}} = Q\delta(\mathbf{r})$  is

$$\Phi(\mathbf{r}) = \frac{Q}{4\pi\epsilon r} e^{-r/\lambda_D}$$

The bare Coulomb potential is exponentially screened by the medium, over a distance of the Debye length.

## In a plasma [\[ edit \]](#)

In a non-isothermic plasma, the temperatures for electrons and heavy species may differ while the background medium may be treated as the vacuum ( $\epsilon_r = 1$ ), and the Debye length is

$$\lambda_D = \sqrt{\frac{\epsilon_0 k_B / q_e^2}{n_e / T_e + \sum_j z_j^2 n_j / T_i}}$$

where

$\lambda_D$  is the Debye length,

$\epsilon_0$  is the [permittivity of free space](#),

$k_B$  is the [Boltzmann constant](#),

$q_e$  is the [charge of an electron](#),

$T_e$  and  $T_i$  are the temperatures of the electrons and ions, respectively,

$n_e$  is the density of electrons,

$n_j$  is the density of atomic species  $j$ , with positive [ionic charge](#)  $z q_e$

Even in quasineutral cold plasma, where ion contribution virtually seems to be larger due to lower ion temperature, the ion term is actually often dropped, giving

$$\lambda_D = \sqrt{\frac{\epsilon_0 k_B T_e}{n_e q_e^2}}$$

although this is only valid when the mobility of ions is negligible compared to the process's timescale.<sup>[7]</sup>

Plasma	Density $n_e(\text{m}^{-3})$	Electron temperature $T(\text{K})$	Magnetic field $B(\text{T})$	Debye length $\lambda_D(\text{m})$
<b>Solar core</b>	$10^{32}$	$10^7$	—	$10^{-11}$
<b>Tokamak</b>	$10^{20}$	$10^8$	10	$10^{-4}$
<b>Gas discharge</b>	$10^{16}$	$10^4$	—	$10^{-4}$
<b>Ionosphere</b>	$10^{12}$	$10^3$	$10^{-5}$	$10^{-3}$
<b>Magnetosphere</b>	$10^7$	$10^7$	$10^{-8}$	$10^2$
<b>Solar wind</b>	$10^6$	$10^5$	$10^{-9}$	10
<b>Interstellar medium</b>	$10^5$	$10^4$	$10^{-10}$	10
<b>Intergalactic medium</b>	1	$10^6$	—	$10^5$

In space plasmas where the electron density is relatively low, the Debye length may reach macroscopic values, such as in the magnetosphere, solar wind, interstellar medium and intergalactic medium. See table:

# Další kroky



# APPROXIMATE MAGNITUDES IN SOME TYPICAL PLASMAS

Plasma Type	$n \text{ cm}^{-3}$	$T \text{ eV}$	$\omega_{pe} \text{ sec}^{-1}$	$\lambda_D \text{ cm}$	$n\lambda_D^3$	$\nu_{ei} \text{ sec}^{-1}$
Interstellar gas	1	1	$6 \times 10^4$	$7 \times 10^2$	$4 \times 10^8$	$7 \times 10^{-5}$
Gaseous nebula	$10^3$	1	$2 \times 10^6$	20	$8 \times 10^6$	$6 \times 10^{-2}$
Solar Corona	$10^9$	$10^2$	$2 \times 10^9$	$2 \times 10^{-1}$	$8 \times 10^6$	60
Diffuse hot plasma	$10^{12}$	$10^2$	$6 \times 10^{10}$	$7 \times 10^{-3}$	$4 \times 10^5$	40
Solar atmosphere, gas discharge	$10^{14}$	1	$6 \times 10^{11}$	$7 \times 10^{-5}$	40	$2 \times 10^9$
Warm plasma	$10^{14}$	10	$6 \times 10^{11}$	$2 \times 10^{-4}$	$8 \times 10^2$	$10^7$
Hot plasma	$10^{14}$	$10^2$	$6 \times 10^{11}$	$7 \times 10^{-4}$	$4 \times 10^4$	$4 \times 10^6$
Thermonuclear plasma	$10^{15}$	$10^4$	$2 \times 10^{12}$	$2 \times 10^{-3}$	$8 \times 10^6$	$5 \times 10^4$
Theta pinch	$10^{16}$	$10^2$	$6 \times 10^{12}$	$7 \times 10^{-5}$	$4 \times 10^3$	$3 \times 10^8$
Dense hot plasma	$10^{18}$	$10^2$	$6 \times 10^{13}$	$7 \times 10^{-6}$	$4 \times 10^2$	$2 \times 10^{10}$
Laser Plasma	$10^{20}$	$10^2$	$6 \times 10^{14}$	$7 \times 10^{-7}$	40	$2 \times 10^{12}$

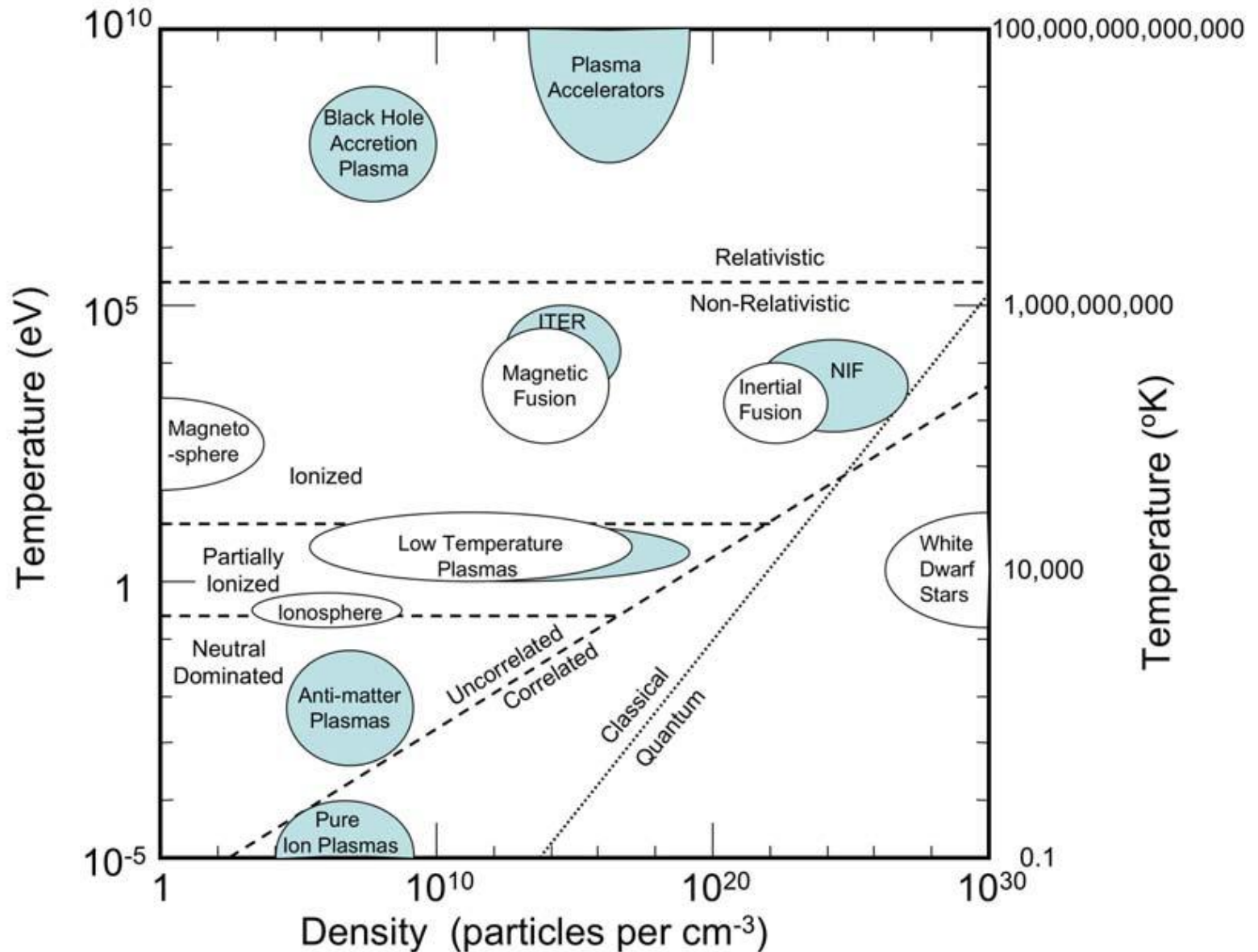
$$l_d = 69 \sqrt{\frac{T}{n}}, \quad T \text{ in } K, n \text{ in } m^{-3}$$

$$f_p = 9 \sqrt{n(10^{12} \text{ cm}^{-3})} \text{ GHz}$$

From NRL Plasma Formulary (very useful)

Wide range of possible plasma parameters.

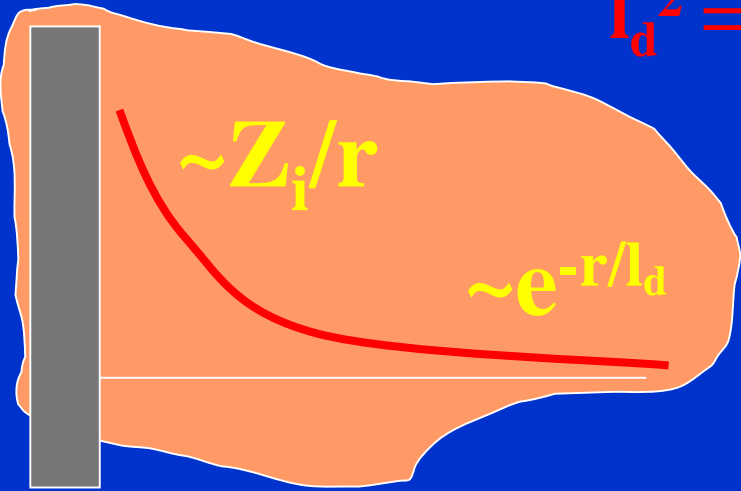
Plasmas above the line marked “Uncorrelated-Correlated” correspond to  $\Lambda \gg 1$



# Stínění v plazmě

$$l_d^2 = \epsilon_0 kT / ne^2$$

- Stínění v plazmě
- Ustanovení debyovského stínění



$$v^2 \sim kT/m_e$$

$$l_d^2 = kT/m_e * 1/\omega_{0e}^2 = v^2/\omega_{0e}^2$$

$$\phi(r) = (Z_i e / 4\pi \epsilon_0) / r * e^{-r/l_d}$$

$$\sigma_c(v) = 2\pi \int b db$$

Problém srážek na velkou vzdálenost

Tvar  $l_d$  (2.124) se značně zjednoduší, budeme-li předpokládat, že  $Z_1^2 = Z_2^2 = 1$ ,  $T_1 = T_2 = T$

$$(2.130) \quad n_{10} + n_{20} = n, \quad n_{10} \sim n_{20} \sim \frac{1}{2}n,$$

kde  $n$  je celkový počet částic v jednotce objemu. Potom, jak plyne z (2.124), je

$$(2.131) \quad l_d^2 = \frac{\epsilon_0 kT}{ne^2}$$

Uvážíme-li nyní, že Langmuirova frekvence (plazmová frekvence)  $\omega_0$  je dána výrazem

$$(2.132) \quad \omega_0^2 = \frac{ne^2}{\epsilon_0} \left( \frac{1}{m_1} + \frac{1}{m_2} \right) \sim \frac{ne^2}{\epsilon_0 m_e} = \omega_{0e}^2,$$

kde  $m_e$  je hmotnost elektronů a  $\omega_{0e}$  je plazmová frekvence elektronů, můžeme také psát, že

$$(2.133) \quad l_d^2 = \frac{kT}{m_e \omega_{0e}^2}$$

Fyzikální význam této rovnice je celkem jasný. Rovnice (2.133) totiž říká, že  $l_d$  je taková délka, o kterou se přemístí částice (elektron) za periodu plazmových kmitů. Potom doba  $\tau_{st}$ , za kterou se ustanoví debyeovské stínění, je řádově

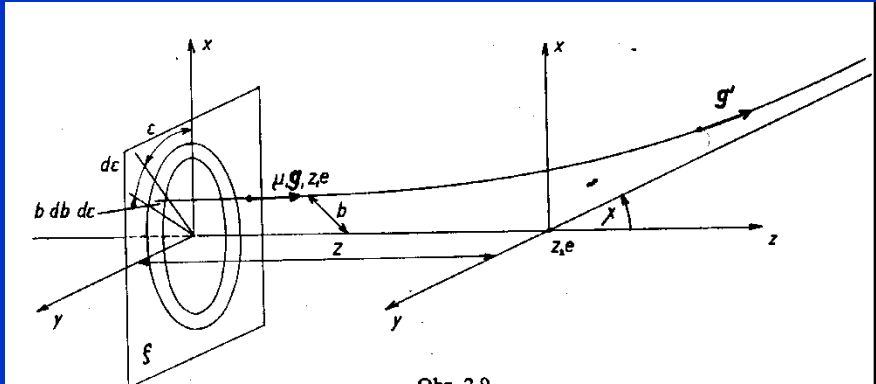
$$(2.134) \quad \tau_{st} \sim \frac{1}{\omega_0} \sim \frac{l_d}{\sqrt{kT/m_e}}$$

Na závěr tohoto odstavce je nutno poznamenat, že některé naše úvahy nejsou přesně vzato korektní. Týká se to především předpokladu, že rozložení částic kolem každého silového centra plazmatu je dáno sféricky symetrickým rozdělením Maxwella-Boltzmannna. Podrobnější analýza daného problému ukazuje\*), že chyby, kterých se tímto jednoduchým popisem dopouštíme, jsou poměrně malé a navíc i tento jednoduchý popis vede k relativně dobrým výsledkům v další teorii plazmatu.

\*) Viz např. D. V. Sivuchin: Voprosy teorii plazmy 4, red. M. A. Leontovič, Moskva (1964).

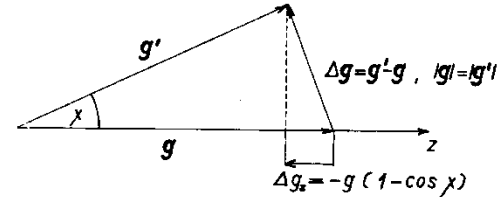
# Zvláštnosti coulombovského rozptylu

- Coulombovský rozptyl
- Coulombovský logaritmus



$$F = - \frac{d}{dt} \sum_{(i)} p_{1i} = - \frac{g}{g} \mu \sum_{(i)} \frac{d}{dt} g_z,$$

kde suma přes  $i$  značí sečítání přes všechny částice svazku. Výraz  $\sum_{(i)} (dg_z/dt)$  je možno celkem snadno určit: fyzikálně totiž znamená změnu relativní rychlosti svazku částic za jednotku času, nebo – což je totéž – změnu relativní rychlosti jedné částice svazku vlivem srážky, vynásobenou počtem srážek za jednotku času (předpokládáme, že interakci svazku můžeme rozdělit na jednotlivé binární srážky).



Obr. 2.10.

Změnu relativní rychlosti jedné částice svazku  $\Delta g_z$  určíme snadno z obr. 2.10. Snadno zjistíme, že

$$(2.136) \quad \Delta g_z = -g(1 - \cos \chi) = -2g \sin^2 \frac{\chi}{2}.$$

Počet srážek za jednotku času závisí zřejmě na průřezu svazku; za jednotku času „dosáhnou“ sílového centra pouze ty částice, jejichž vzdálenost  $Z \leq g \cdot 1 \text{ sec}$ . Počet částic, které projdou elementární plochou  $b db d\epsilon$  za jednotku času a „dosáhnou“ sílového centra, pak zřejmě bude

$$(2.137) \quad g n_1 b db d\epsilon,$$

kde  $n_1$  je koncentrace částic svazku. Vynásobíme-li nyní (2.136) výrazem (2.137) a zintegrujeme-li výsledek přes celou rovinu  $\xi$ , dostaneme, že

$$(2.138) \quad \sum_{(i)} \frac{d}{dt} g_z = \int_0^\infty db \int_0^{2\pi} d\epsilon \left( -2g \sin^2 \frac{\chi}{2} g n_1 b \right)$$

a odtud

$$(2.139) \quad F = \frac{g}{g} 2g^2 n_1 \mu 2\pi \int_0^\infty b \sin^2 \frac{\chi}{2} db.$$

Uvážíme-li nyní, že podle (2.106)  $\text{tg } \chi/2 = b_0/b$ , můžeme dále psát, že

$$(2.140) \quad F = \frac{g}{g} \mu 4\pi n_1 g^2 b_0^2 \int_0^\infty \frac{b db}{b_0^2 + b^2}.$$

Integrál

$$(2.141) \quad L = \int_0^\infty \frac{b db}{b_0^2 + b^2}$$

# Zvláštnosti coulombovského rozptylu

- Coulombovský rozptyl
- Coulombovský logaritmus

$$F = \frac{g}{g} \mu 4\pi n_1 g^2 b_0^2 \int_0^\infty \frac{b db}{b_0^2 + b^2}.$$

$$L = \int_0^\infty \frac{b db}{b_0^2 + b^2}$$

In(E.kinetická/E.potenciální)  
Ve vzdalenosti  $l_d$

Už jsme ukázali, že platí...

$$b_0 = \frac{e^2}{4\pi\epsilon_0\mu g^2} \quad l_d^2 = \frac{\epsilon_0 kT}{ne^2}$$

$$\frac{b_0}{l_d} = \frac{\frac{1}{9} \left(\frac{3}{2} kT\right)}{N \frac{1}{2} \mu g^2} \lll 1$$

logaritmicky diverguje pro velké hodnoty parametru  $b$ . Abychom dostali pro  $F$  konečné hodnoty, musíme v  $L$  nějakým způsobem omezit horní integrační mez.

V předchozím odstavci jsme si ukázali, že efektivní interakční potenciál částic je řádově dosahu  $l_d$ ; binární coulombovské srážky je pak možno uvažovat pouze pro srážkový parametr  $b \leq l_d$ . Za horní integrační mez  $L$  je tedy možno zvolit  $l_d$ . Dostaneme

$$(2.142) \quad L = \int_0^{l_d} \frac{b db}{b_0^2 + b^2} = \ln \sqrt{\left(\frac{b_0^2 + l_d^2}{b_0^2}\right)}.$$

Jestliže dále platí, že  $l_d \gg |b_0|$ , můžeme (2.142) přepsat do tvaru

$$(2.143) \quad L = \ln \left(\frac{l_d}{|b_0|}\right) = \ln \frac{l_d}{\frac{Z_1 Z_2 e^2}{4\pi\epsilon_0 \mu g^2}},$$

kde jsme za  $b_0$  dosadili (2.97) a síla  $F$ , určená rovnicí (2.140), má nyní tvar

$$(2.144) \quad F = L \frac{g}{g^3} \frac{Z_1^2 Z_2^2 e^4}{4\pi\epsilon_0} \frac{n_1}{\mu}.$$

Veličina  $L$  určená rovnicí (2.143) se nazývá coulombovský logaritmus.

Předpokládali jsme, že platí

$$(2.145) \quad l_d \gg b_0.$$

Tato podmínka však plyne přímo z předpokladů (2.120), které mají platit pro libovolné  $r$ . Položme tedy  $r = l_d$  a předpokládejme pro jednoduchost, že  $Z_1 = Z_2 = 1$ . Sečtením nerovností (2.120) ( $\varphi(r)$  bereme v prvním přiblížení jako coulombovský) dostaneme

$$(2.146) \quad \frac{2e^2}{4\pi\epsilon_0} \frac{1}{l_d} \ll k(T_1 + T_2),$$

což je možno přepsat jako

$$(2.147) \quad l_d \gg \frac{2e^2}{4\pi\epsilon_0 k(T_1 + T_2)}.$$

Protože ale  $3k(T_1 + T_2) \sim \mu g^2$ , je možno (2.147) dále přepsat na

$$(2.148) \quad l_d \gg \frac{6e^2}{4\pi\epsilon_0 \mu g^2} \sim b_0.$$

Odtud již vidíme, že nerovnost (2.145) je již splněna, platí-li (2.120), nebo jinými slovy, předpokládáme (stejně jako v 1. kapitole), že interakční energie částic je mnohem menší ve srovnání s jejich tepelnou energií. K tomuto výsledku je možno dojít ještě trochu jiným způsobem. Aby „ořezání“ integrálu  $L$  (2.141) mělo fyzikální smysl,

# Další kroky

$$(2.140) \quad F = \frac{q}{g} \mu 4\pi n_1 g^2 b_0^2 \int_0^\infty \frac{b db}{b_0^2 + b^2}$$

Integrál

$$(2.141) \quad L = \int_0^\infty \frac{b db}{b_0^2 + b^2}$$

$$(2.151) \quad |F| = \text{konst } L,$$

kde  $L$  je dáno rovnicí (2.142), resp. (2.143). Sledujme dále, jak závisí  $|F|$  na úhlu rozptylu částic. Na základě (2.106) můžeme tvrdit, že pro  $b \gg b_0$  je

$$(2.152) \quad \chi = \frac{2b_0}{b} \ll 1$$

a tedy rozptyl na malé úhly odpovídá dalekým průletům. Hranici mezi dalekými a blízkými průlety stanovme pro  $b = 2b_0$ . Rovnici (2.151) můžeme nyní psát ve tvaru

$$(2.153) \quad |F| = \text{konst} \int_0^{l_a} \frac{b db}{b_0^2 + b^2} = \text{konst} (L_{b.p.} + L_{d.p.}),$$

kde

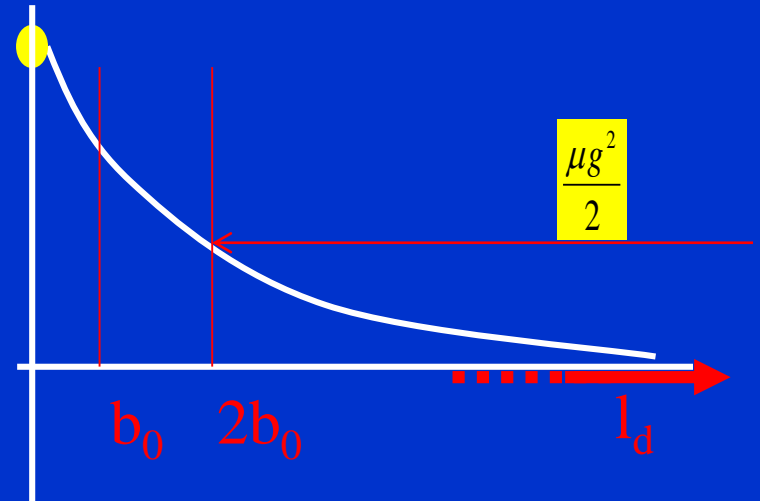
$$(2.154) \quad L_{b.p.} = \int_0^{2b_0} \frac{b db}{b_0^2 + b^2} = \ln 3 \sim 1$$

je coulombovský logaritmus odpovídající blízkým průletům a

$$(2.155) \quad L_{d.p.} = \int_{2b_0}^{l_a} \frac{b db}{b_0^2 + b^2} = \ln \frac{l_a}{b_0} - \ln 3 \sim \ln \frac{l_a}{b_0} = L \gg 1$$

je coulombovský logaritmus odpovídající dalekým průletům. Z (2.153) je zřejmé, že střední sílu, která působí na částici 2 ze strany svazku částic 1, můžeme rozdělit na dvě části a to na sílu  $F_{b.p.}$ , odpovídající blízkým průletům, a  $F_{d.p.}$ , odpovídající dalekým průletům; pro  $F_{b.p.}$  a  $F_{d.p.}$  platí

$$(2.156) \quad |F_{b.p.}| \sim L_{b.p.}$$



$$\frac{b_0}{l_d} = \frac{1}{9} \frac{(3/2 kT)}{N^{1/2} \mu g^2} \ll \ll 1$$

$$F_{dp} / F_{bp} \sim L \gg \gg 1$$

# Závislost na teplotě

V závěru tohoto odstavce uvedeme ještě několik poznámek, týkajících se coulombovského logaritmu  $L$ . Z (2.143) vidíme, že  $L$  závisí logaritmičsky na  $\mu g^2$ . V důsledku této logaritmičské závislosti je možno v mnoha případech nahradit  $\mu g^2$  střední hodnotou této veličiny nebo tepelnou rychlostí částic, tj. můžeme položit  $\mu g^2 \sim \frac{3}{2}k(T_1 + T_2)$ . Abychom si utvořili představu, jak závisí  $L$  na teplotě a koncentraci, předpokládejme pro jednoduchost, že  $T_1 = T_2 = T$ . Coulombovský logaritmus má pak jednoduchý tvar

$$(2.159) \quad L = \ln \left[ \frac{12\pi}{n^{1/2}} \left( \frac{\epsilon_0 k T}{e^2} \right)^{3/2} \right].$$

V jednoduchém případě, kdy  $\mu g^2 \sim \frac{3}{2}k(T_1 + T_2)$ ,  $T_1 = T_2 = T$  a  $|Z_1| = |Z_2| = 1$ , je možno (2.161) přepsat na tvar

$$(2.162) \quad L_{kv} = L_{kl} + \ln \left( \frac{4,2 \cdot 10^5}{T} \right)^{1/2},$$

kde  $L_{kl}$  je dáno vztahem (2.159). Hodnoty coulombovského logaritmu vypočtené z (2.159) a (2.161) jsou uvedeny v tab. 1; nejsou zde uvedeny hodnoty coulombovského logaritmu pro vysoké koncentrace a nízké teploty, protože v těchto případech je námi uvedená teorie neplatná.

Tabulka 1. Hodnoty coulombovského logaritmu  $L$ .

Koncentrace elektronů [m <sup>-3</sup> ]	Teplota K									
	50	100	5.10 <sup>2</sup>	10 <sup>3</sup>	5.10 <sup>3</sup>	10 <sup>4</sup>	5.10 <sup>4</sup>	10 <sup>5</sup>	5.10 <sup>5</sup>	10 <sup>6</sup>
10 <sup>10</sup>	10,69	11,73	14,14	15,18	17,60	18,63	21,05	22,09	24,42	25,11
10 <sup>11</sup>	9,54	10,58	12,99	14,03	16,44	17,48	19,88	20,94	23,26	23,96
10 <sup>12</sup>	8,39	9,42	11,84	12,88	15,29	16,33	18,75	19,79	22,11	22,81
10 <sup>13</sup>	7,23	8,27	10,69	11,73	14,14	15,18	17,60	18,63	20,96	21,65
10 <sup>14</sup>	6,08	7,12	9,54	10,58	12,99	14,03	16,44	17,48	19,81	20,50
10 <sup>15</sup>	4,93	5,97	8,39	9,42	11,84	12,88	15,29	16,33	18,66	19,36
10 <sup>16</sup>	—	4,82	7,23	8,27	10,69	11,73	14,14	15,18	17,51	18,20
10 <sup>17</sup>	—	—	6,08	7,12	9,54	10,58	12,99	14,03	16,36	17,05
10 <sup>18</sup>	—	—	4,93	5,97	8,39	9,42	11,84	12,88	15,21	15,90
10 <sup>19</sup>	—	—	—	4,82	7,23	8,27	10,69	11,73	14,06	14,75
10 <sup>20</sup>	—	—	—	—	6,08	7,12	9,54	10,58	12,90	13,60
10 <sup>21</sup>	—	—	—	—	4,93	5,97	8,39	9,42	11,75	12,45
10 <sup>22</sup>	—	—	—	—	—	4,92	7,23	8,27	10,60	11,30
10 <sup>23</sup>	—	—	—	—	—	—	6,08	7,12	9,45	10,14
10 <sup>24</sup>	—	—	—	—	—	—	4,93	5,97	8,30	8,99

## Literatura ke kap. 2.

- JANCEL R., KAHAN TH.: *Electrodynamics of plasmas*. J. Wiley & Sons, London (1966).  
 DELCROIX J. L.: *Plasma physics*. J. Wiley & Sons, London (1965).  
 LANDAU L. D., LIFŠIC E. M.: *Kvantovaja mechanika*. Moskva (1963).  
 SIVUCHIN D. V.: *Voprosy teorij plazmy 4.*, red. M. A. Leontovič, Moskva (1964).  
 TRUBNIKOV B. A.: *Voprosy teorij plazmy 1.*, red. M. A. Leontovič, Moskva (1963).  
 SPITZER L.: *Physics of fully ionized gases*. Interscience, New York (1956) (ruský překlad Spitzer L.: *Fizika polnostju ionizovannogo gaza*. Moskva (1965)).

# Rozdělovací funkce

$$f(\vec{r}, \vec{v}, t)$$

Počet částic v  $\mathbf{r}, \mathbf{v}, t$  v objemu  $d\mathbf{r}d\mathbf{v}$

$$f d\vec{r} d\vec{v}$$

kde integraci se míní integrace přes celý rychlostní prostor a přes objem, ve kterém je daný systém uzavřen. Potom střední hodnota funkce  $g(\mathbf{r}, \mathbf{v})$  je dána výrazem

$$(3.2) \quad \bar{g} = \frac{1}{N} \iiint g(\mathbf{r}, \mathbf{v}) f(\mathbf{r}, \mathbf{v}, t) d\mathbf{r} d\mathbf{v}.$$

Podobně pro lokální střední hodnotu (střední hodnotu, která se může obecně měnit v prostoru od bodu k bodu) funkce  $g(\mathbf{r}, \mathbf{v})$  dostáváme

$$(3.3) \quad \overline{g(\mathbf{r}, t)} = \frac{1}{n} \int g(\mathbf{r}, \vec{v}) f(\mathbf{r}, \mathbf{v}, t) d\mathbf{v},$$

kde

$$(3.4) \quad n(\mathbf{r}, t) = \int f(\mathbf{r}, \mathbf{v}, t) d\mathbf{v}$$

je koncentrace částic v místě  $\mathbf{r}$ ;  $n(\mathbf{r}, t) d\mathbf{r}$  je potom počet částic v objemu  $d\mathbf{r}$  kolem bodu  $\mathbf{r}$ .\*)

Pomocí definice (3.3) můžeme nyní zavést některé důležité veličiny, které budou pro nás v dalším textu nepostradatelné.

Tak například střední rychlost částic v bodě  $(\mathbf{r}, t)$   $\mathbf{v}_0(\mathbf{r}, t)$  bude podle (3.3) dána vztahem

$$(3.5) \quad \bar{\mathbf{v}}_0(\mathbf{r}, t) = \frac{1}{n} \int \mathbf{v} f(\mathbf{r}, \mathbf{v}, t) d\mathbf{v}.$$

Velmi často bývá výhodné vztahovat rychlost částic ke střední rychlosti  $\mathbf{v}_0(\mathbf{r}, t)$ ; zavedeme tedy pojem relativní rychlosti  $\mathbf{V}$  vzhledem ke střední rychlosti  $\mathbf{v}_0(\mathbf{r}, t)$  vztahem

$$(3.6) \quad \mathbf{V} = \mathbf{v} - \mathbf{v}_0(\mathbf{r}, t).$$

Potom s ohledem na definici  $\mathbf{v}_0(\mathbf{r}, t)$  (3.5) je zřejmé, že

$$(3.7) \quad \bar{\mathbf{V}} = \bar{\mathbf{v}} - \mathbf{v}_0(\mathbf{r}, t) = 0.$$

V systému, který není v rovnovážném stavu, existuje jistý počet gradientů, jako například koncentrace, relativní rychlosti, teploty atd., které způsobují přenos hmotnosti, impulsu, teploty a dalších veličin, jež charakterizují vlastnosti částic daného systému. Označíme-li tyto veličiny jako  $\psi(\mathbf{v})$ , pak tok veličiny  $\psi$  jednotkovou plochou, která se pohybuje rychlostí  $\mathbf{v}_0$ \*\*) za jednotku času bude zřejmě roven

$$(3.8) \quad \Psi = \bar{\Psi} = \int \psi(\mathbf{V}) \mathbf{V} f d\mathbf{V}.$$

\*) Pro jednoduchost zápisu budeme místo „v  $d\mathbf{r}$  kolem bodu  $\mathbf{r}$ “ říkat „v bodě  $\mathbf{r}$ “.

\*\*) V dalším textu budeme vždy uvažovat tok plochou, která je v klidu vzhledem ke střední rychlosti částic systému.



# Odvození Boltzmannovy rovnice

## 3.2 Odvození Boltzmannovy rovnice

Z předchozích úvah a z definice rozdělovací funkce vyplývá, že k popisu systému  $N$  částic plně postačí, budeme-li znát rozdělovací funkci tohoto systému (případně rozdělovací funkce  $f_i$  jednotlivých druhů částic systému). Budeme tedy v dalším textu sledovat zákony, kterými je určeno chování  $f_i$ , za předpokladu, že platí následující podmínky:

1. Liouvillov teorém a představy o srážkách částic platí podle našich dosavadních klasických představ;
2. plyn je natolik zředěný, že můžeme uvažovat pouze elastické binární srážky;
3. je splněn předpoklad molekulárního chaosu, tj. stav částice 1 v bodě  $(\mathbf{r}_1, \mathbf{v}_1)$  a částice 2 v bodě  $(\mathbf{r}_2, \mathbf{v}_2)$  jsou na sobě nezávislé.
4. vnější síla  $\mathbf{F}_i$ , působící na  $i$ -tý druh částic, je nezávislá na rychlosti a je malá ve srovnání se silami, které vznikají v době srážek.

Mějme nyní objemový element  $\mu$  prostoru se středem v bodě  $\mathbf{r}, \mathbf{v}$ , o velikosti  $d\mathbf{r} d\mathbf{v}$ ; v čase  $t$  obsahuje tento  $f_i(\mathbf{r}, \mathbf{v}, t) d\mathbf{r} d\mathbf{v}$  částic  $i$ -tého druhu. Jestliže zanedbáme srážky mezi částicemi, pak v čase  $t + dt$  vlivem vnější síly všechny tyto částice budou v objemovém elementu  $d\mathbf{r}$  kolem bodu  $\mathbf{r} + \mathbf{v} dt$  a v rychlostním elementu  $d\mathbf{v}$  kolem bodu  $\mathbf{v}_i + (\mathbf{F}_i/m_i) dt$  (předpokládáme, že síla  $\mathbf{F}_i$  se téměř nezmění uvnitř  $d\mathbf{r}$  za  $dt$ ). Podle Liouvillova teorému tedy platí

$$f_i(\mathbf{r} + \mathbf{v} dt, \mathbf{v}_i + (\mathbf{F}_i/m) dt, t + dt) d\mathbf{r} d\mathbf{v}_i = f_i(\mathbf{r}, \mathbf{v}, t) d\mathbf{r} d\mathbf{v}_i.$$

Vlivem srážek se však tyto dva členy budou lišit. Označíme-li

$$(3.32) \quad \frac{\delta_e f_i}{\delta t} d\mathbf{r} d\mathbf{v}_i dt$$

jako změnu počtu částic  $i$ -tého druhu v  $d\mathbf{r} d\mathbf{v}_i$  způsobenou srážkami za čas  $dt$ , musí zřejmě platit

$$(3.33) \quad f_i(\mathbf{r} + \mathbf{v} dt, \mathbf{v}_i + (\mathbf{F}_i/m_i) dt, t + dt) d\mathbf{r} d\mathbf{v}_i - f_i(\mathbf{r}, \mathbf{v}_i, t) d\mathbf{r} d\mathbf{v}_i = \frac{\delta_e f_i}{\delta t} d\mathbf{r} d\mathbf{v}_i dt.$$

Rozvineme-li první člen na levé straně (3.32) do Taylorovy řady, dostaneme

$$(3.34) \quad \frac{\partial f_i}{\partial t} + \mathbf{v}_i \cdot \nabla_{\mathbf{r}} f_i + \frac{\mathbf{F}_i}{m_i} \cdot \nabla_{\mathbf{v}} f_i = \frac{\delta_e f_i}{\delta t}.$$

Na pravé straně (3.33) stojí nyní srážkový člen  $(\delta_e f_i/\delta t)$ , kterému nyní musíme dát explicitní tvar. Člen (3.32) je roven počtu částic  $i$ -tého druhu, které se dostanou do objemového elementu  $d\mathbf{r} d\mathbf{v}_i$  vlivem srážek s ostatními druhy částic za čas  $dt$  (označí-

## BBGKY rovnice aplikace na $s=1, s=2$

Shrnutím předchozích výsledků dostáváme konečně požadovanou rovnici pro  $F_s$  ve tvaru

$$(1.52) \quad \frac{\partial F_s}{\partial t} = [H_s; F_s] + \frac{N-s}{V} \sum_{i=1}^s \int [\Phi_{i,s+1}; F_{s+1}] d\mathbf{r}_{s+1} d\mathbf{p}_{s+1},$$

Velmi důležitý a pro fyziku plazmatu nepostradatelný je tvar rovnice (1.52) pro  $s=1$  a  $s=2$ . Pro  $s=1$  dostaneme

$$(1.54) \quad \frac{\partial F_1}{\partial t} = \nabla_{\mathbf{r}_1} H_1 \cdot \nabla_{\mathbf{p}_1} F_1 - \nabla_{\mathbf{p}_1} H_1 \cdot \nabla_{\mathbf{r}_1} F_1 + \frac{N-1}{V} \int (\nabla_{\mathbf{r}_1} \Phi_{12} \cdot \nabla_{\mathbf{p}_1} F_2 - \nabla_{\mathbf{p}_1} \Phi_{12} \cdot \nabla_{\mathbf{r}_1} F_2) d\mathbf{r}_2 d\mathbf{p}_2$$

a pro  $s=2$  dostaneme

$$(1.55) \quad \frac{\partial F_2}{\partial t} = [H_1 + H_2 + \Phi_{12}; F_2] + \frac{N-2}{V} \int \sum_{i=1}^2 [\Phi_{i3}; F_3] d\mathbf{r}_3 d\mathbf{p}_3.$$

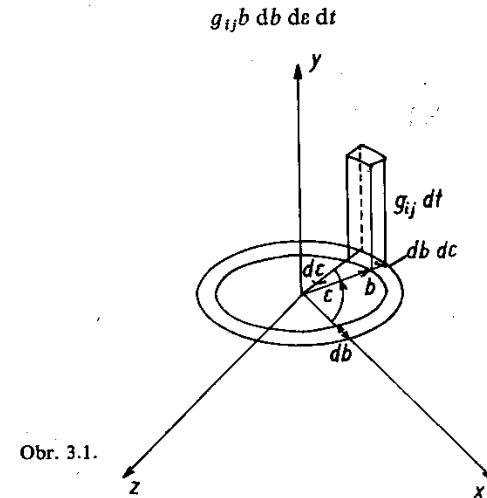
# Další kroky

me  $\sum_j A_{ij}^+ d\mathbf{r} dv_i dt$ ), minus počet částic  $i$ -tého druhu, které tento objemový element opustí vlivem srážek s ostatními druhy částic za stejný časový interval  $dt$  (označíme  $\sum_j A_{ij}^- d\mathbf{r} dv_i dt$ ). Symbolicky tedy můžeme psát

$$(3.35) \quad \frac{\delta_e f_i}{\delta t} d\mathbf{r} dv_i dt = \sum_j (A_{ij}^+ - A_{ij}^-) d\mathbf{r} dv_i dt,$$

kde sečítáme přes všechny druhy částic.

Věnujme se nejdříve členu  $A_{ij}^- d\mathbf{r} dv_i dt$ . Nechť částice  $i$ -tého druhu je umístěna v bodě  $\mathbf{r}$  a nechť se pohybuje rychlostí  $\mathbf{v}_i$ . Spočteme pravděpodobnost toho, že tato částice se za dobu  $dt$  srazí s částicí  $j$ -tého druhu. Elastická srážka dvou částic je ve válcových souřadnicích charakterizována relativní rychlostí těchto částic  $g_{ij} = |\mathbf{v}_i - \mathbf{v}_j|$ , srážkovým parametrem  $b$  a úhlem  $\varepsilon$  mezi rovinou trajektorie a libovolnou rovinou referenční (viz kapitolu 2). Počet srážek částice  $i$ -tého druhu za čas  $dt$  s částicemi  $j$ -tého druhu, jejichž relativní rychlost je  $g_{ij}$ , srážkový parametr je v mezích  $b$ ,  $b + db$  a úhel v mezích  $\varepsilon$ ,  $\varepsilon + d\varepsilon$  potom bude roven počtu částic  $j$ -tého druhu, které jsou obsaženy v objemovém elementu



(viz obr. 3.1). Vzhledem k definici  $f_j(\mathbf{r}, \mathbf{v}_j, t)$  je tento počet částic roven výrazu

$$f_j(\mathbf{r}, \mathbf{v}_j, t) g_{ij} b db d\varepsilon dt.$$

Celkový počet srážek částice  $i$ -tého druhu se všemi částicemi druhu  $j$ -tého za čas  $dt$  potom zřejmě bude

$$(3.36) \quad dt \iiint f_j(\mathbf{r}, \mathbf{v}_j, t) g_{ij} b db d\varepsilon dv_j,$$

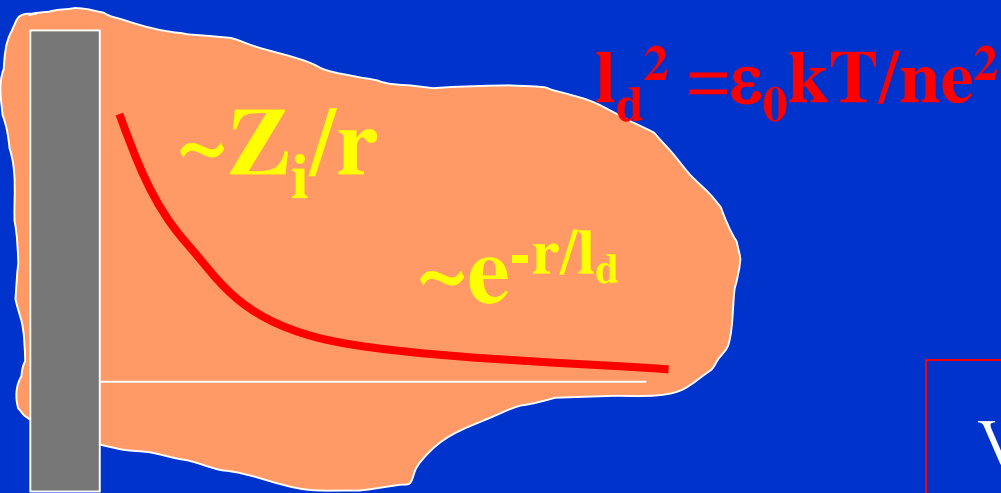
# Interstellar and Circumstellar Molecules

2-atom	3-atom	4-atom	5-atom	6-atom	7-atom	8-atom	9-atom	10-atom
H <sub>2</sub>	H <sub>3</sub> <sup>+</sup>	CH <sub>3</sub>	CH <sub>4</sub>	CH <sub>3</sub> OH	CH <sub>3</sub> NH <sub>2</sub>	HCOOCH <sub>3</sub>	(CH <sub>3</sub> ) <sub>2</sub> O	(CH <sub>3</sub> ) <sub>2</sub> CO
CO	CH <sub>2</sub>	NH <sub>3</sub>	CH <sub>2</sub> NH	CH <sub>3</sub> SH	CH <sub>3</sub> CCH	CH <sub>3</sub> C <sub>3</sub> N	C <sub>2</sub> H <sub>5</sub> OH	CH <sub>3</sub> C <sub>5</sub> N
CS	NH <sub>2</sub>	H <sub>3</sub> O <sup>+</sup>	H <sub>2</sub> CCC	C <sub>2</sub> H <sub>4</sub>	CH <sub>3</sub> CHO	HC <sub>6</sub> H	C <sub>2</sub> H <sub>5</sub> CN	CH <sub>3</sub> CH <sub>2</sub> CHO
CN	H <sub>2</sub> O	H <sub>2</sub> CO	c-C <sub>3</sub> H <sub>2</sub>	CH <sub>3</sub> CN	c-CH <sub>2</sub> OCH <sub>2</sub>	<b>C<sub>7</sub>H</b>	CH <sub>3</sub> C <sub>4</sub> H	(CH <sub>2</sub> OH) <sub>2</sub>
<b>C<sub>2</sub></b>	H <sub>2</sub> S	H <sub>2</sub> CS	CH <sub>2</sub> CN	CH <sub>3</sub> NC	CH <sub>2</sub> CHCN	HOCH <sub>2</sub> CHO	<b>C<sub>8</sub>H</b>	<b>11-atom</b>
<b>CH</b>	<b>CCH</b>	c-C <sub>3</sub> H	NH <sub>2</sub> CN	HC <sub>2</sub> CHO	<b>HC<sub>5</sub>N</b>	CH <sub>3</sub> COOH	<b>HC<sub>7</sub>N</b>	<b>HC<sub>9</sub>N</b>
<b>CH<sup>+</sup></b>	<b>HCN</b>	l-C <sub>3</sub> H	CH <sub>2</sub> CO	NH <sub>2</sub> CHO	<b>C<sub>6</sub>H</b>	H <sub>2</sub> CCCHCN	CH <sub>3</sub> CONH <sub>2</sub>	CH <sub>3</sub> C <sub>6</sub> H
HF	HNC	C <sub>2</sub> H <sub>2</sub>	HCOOH	<b>HC<sub>3</sub>NH<sup>+</sup></b>	CH <sub>2</sub> CHOH	<b>H<sub>2</sub>C<sub>6</sub></b>	CH <sub>3</sub> CHCH <sub>2</sub>	C <sub>2</sub> H <sub>5</sub> OCHO
<b>CF<sup>+</sup></b>	HCO	<b>HCNH<sup>+</sup></b>	<b>C<sub>4</sub>H</b>	<b>H<sub>2</sub>CCCC</b>	<b>C<sub>6</sub>H<sup>-</sup></b>	CH <sub>2</sub> CHCHO	<b>C<sub>8</sub>H<sup>-</sup></b>	CH <sub>3</sub> COOCH <sub>3</sub>
SiO	<b>HCO<sup>+</sup></b>	H <sub>2</sub> CN	<b>HC<sub>3</sub>N</b>	<b>C<sub>5</sub>H</b>		NH <sub>2</sub> CH <sub>2</sub> CN	C <sub>2</sub> H <sub>5</sub> SH	<b>12-atom</b>
SiS	<b>HOC<sup>+</sup></b>	HCCN	HCCNC	HC <sub>4</sub> H		CH <sub>3</sub> CHNH		C <sub>6</sub> H <sub>6</sub>
SiC	<b>N<sub>2</sub>H<sup>+</sup></b>	HNCO	HNCCC	HC <sub>4</sub> N				C <sub>3</sub> H <sub>7</sub> CN
SiN	HNO	HOCN	<b>H<sub>2</sub>COH<sup>+</sup></b>	c-C <sub>3</sub> H <sub>2</sub> O				C <sub>2</sub> H <sub>5</sub> OCH <sub>3</sub>
NH	<b>HCS<sup>+</sup></b>	HCNO	<b>C<sub>4</sub>H<sup>-</sup></b>	CH <sub>2</sub> CNH				<b>13-atom</b>
NO	<b>C<sub>3</sub></b>	HNCS	SiH <sub>4</sub>	<b>C<sub>5</sub>N<sup>-</sup></b>				<b>HC<sub>11</sub>N</b>
SO	<b>C<sub>2</sub>O</b>	HSCN	<b>C<sub>5</sub></b>	<b>C<sub>5</sub>N</b>				
<b>SO<sup>+</sup></b>	<b>C<sub>2</sub>S</b>	<b>C<sub>3</sub>N</b>	<b>SiC<sub>4</sub></b>	<b>C<sub>5</sub>S</b>				
CP	SO <sub>2</sub>	<b>C<sub>3</sub>O</b>	CNCHO					
PO	N <sub>2</sub> O	<b>C<sub>3</sub>S</b>	CH <sub>3</sub> O					
PN	CO <sub>2</sub>	<b>C<sub>3</sub>N<sup>-</sup></b>	<b>NH<sub>3</sub>D<sup>+</sup></b>					
HCl	<b>H<sub>2</sub>O<sup>+</sup></b>	<b>HCO<sub>2</sub><sup>+</sup></b>	<b>NCCNH<sup>+</sup></b>					
KCl	<b>H<sub>2</sub>Cl<sup>+</sup></b>	PH <sub>3</sub>			<b>ArH<sup>+</sup></b>	<b>NO(?)</b>	CCN	FeCN
AlCl	OCS	c-SiC <sub>3</sub>			SiH(?)	NS	NaCl	KCN
OH	MgNC	HOOH			AlF	AlNC	AlOH	AlO
<b>OH<sup>+</sup></b>	MgCN	<b>l-C<sub>3</sub>H<sup>+</sup></b>			SiNC	CCP	HCP	FeO(?)
<b>SH<sup>+</sup></b>	NaCN	HCCO			<b>CO<sup>+</sup></b>	O <sub>2</sub>	N <sub>2</sub> (?)	SH
<b>CN<sup>-</sup></b>	SiCN				HO <sub>2</sub>	<b>HCl<sup>+</sup></b>	c-SiC <sub>2</sub>	SiCSi

184 Molecules – June 2015

# Ještě raz

- Stínění v plazmě
- Ustanovení debyovského stínění



$$\phi(r) = (Z_i e / 4\pi \epsilon_0) / r * e^{-r/\lambda_d}$$

$$\sigma_c(v) = 2\pi \int b db$$

Problém srážek na velkou vzdálenost

Výpočet:

$$\lambda_d = 69 \sqrt{\frac{T}{n}}, \quad T \text{ in } K, n \text{ in } m^{-3}$$

$$\lambda_d = 1 \text{ mm} = 0.001 \text{ m at } 1000 \text{ K}$$
$$n = 4.8 \times 10^{12} m^{-3} = 4.8 \times 10^6 \text{ cm}^{-3}$$

$$\text{at } 10 \text{ K, } n = 1 \times 10^{10} m^{-3} = 1 \times 10^4 \text{ cm}^{-3}$$
$$\lambda_d \sim 2 \text{ mm} \sim 0.002 \text{ m}$$

# Další kroky

# Debyeho stínící vzdálenost

■ Jiný pohled

$$l_d^2 = \frac{\epsilon_0 k T_1 T_2}{e^2 (Z_1^2 n_{10} T_2 + Z_2^2 n_{20} T_1)}$$

For quasineutral plasma,  
 $n_{10} = n_{20} = n/2 =$  with  $T_1 = T_2$  we obtain

$$l_d^2 = \frac{\epsilon_0 k T}{n e^2}$$

$$b_0 = \frac{Z_1 Z_2 e^2}{4 \pi \epsilon_0 \mu g^2}$$

$$b_0 = \frac{e^2}{4 \pi \epsilon_0 \mu g^2}$$

$$4 \pi b_0 \mu g^2 = \frac{e^2}{\epsilon_0}$$

$$4 \pi b_0 \mu g^2 = \frac{e^2}{\epsilon_0} = \frac{k T}{n l_d^2}$$

$$b_0 \mu g^2 = \frac{l_d k T / 3}{\frac{4}{3} \pi n l_d^3} = \frac{l_d k T / 3}{N}$$

$$\frac{k T}{n l_d^2} = \frac{e^2}{\epsilon_0}$$

$N_D$  je počet částic v „debayove sféře“

$$\frac{b_0 / l_d}{N \frac{1}{2} \mu g^2} = \frac{\frac{1}{9} (3/2 k T)}{N \frac{1}{2} \mu g^2} \lll 1$$

The problem is that  $b_0$  is for individual collision  
 $l_d$  is for many particles...

It is equivalent to condition  $e \phi \lll k T$

# Debyeho stínící vzdálenost

■ Jiný pohled

$$l_d^2 = \frac{\epsilon_0 k T_1 T_2}{e^2 (Z_1^2 n_{10} T_2 + Z_2^2 n_{20} T_1)}$$

For quasineutral plasma,  
 $n_{10} = n_{20} = n/2 =$  with  $T_1 = T_2$  we obtain

$$l_d^2 = \frac{\epsilon_0 k T}{n e^2}$$

$$b_0 = \frac{Z_1 Z_2 e^2}{4 \pi \epsilon_0 \mu g^2}$$

$$b_0 = \frac{e^2}{4 \pi \epsilon_0 \mu g^2}$$

$$4 \pi b_0 \mu g^2 = \frac{e^2}{\epsilon_0}$$

$$4 \pi b_0 \mu g^2 = \frac{e^2}{\epsilon_0} = \frac{k T}{n l_d^2}$$

$$b_0 \mu g^2 = \frac{l_d k T / 3}{\frac{4}{3} \pi n l_d^3} = \frac{l_d k T / 3}{N}$$

$$\frac{k T}{n l_d^2} = \frac{e^2}{\epsilon_0}$$

$N_D$  je počet částic v „debayove sféře“

$$\frac{b_0 / l_d}{N \frac{1}{2} \mu g^2} = \frac{\frac{1}{9} (3/2 k T)}{N \frac{1}{2} \mu g^2} \lll 1$$

The problem is that  $b_0$  is for individual collision  
 $l_d$  is for many particles...

It is equivalent to condition  $e \phi \lll k T$

$$\nabla \cdot \vec{E} = 4\pi(\rho_T + \rho), \quad \rho_T = Q\delta(\vec{r})$$

$$\vec{E} = -\nabla\Phi.$$

$$\rho = n_i e - n_e e,$$

In equilibrium:  $n_s = n_0 e^{-H/kT} = n_0 e^{-q_s \Phi/kT}$  Boltzmann/Gibbs

Linearize  $n_e = n_0 + \tilde{n}, \quad \Phi = \Phi_0 + \tilde{\Phi} = \tilde{\Phi}$

$$-\nabla^2 \Phi = 4\pi Q\delta(\vec{r}) + 4\pi e n_0 (e^{-e\Phi/kT} - e^{e\Phi/kT})$$

$$e^{\mp e\Phi/kT} = 1 \mp e\Phi/kT + \dots$$

$$-\nabla^2 \Phi + \frac{1}{\lambda_D^2} \Phi = 4\pi Q\delta(\vec{r}), \quad \lambda_D^{-2} \equiv \frac{4\pi(n_{0e} + n_{0i})e^2}{kT}$$

$$\Phi = \frac{Q}{r} e^{-r/\lambda_D}$$

p.28 of NRL  
Plasma Formulary

For typical ITER parameters,  $T=10$  keV  $n_e=10^{14}$  cm<sup>-3</sup>:

$$\lambda_D \approx 0.5 \times 10^{-2} \text{ cm}$$



# Weak-coupling between nearest neighbor particles in a plasma

Typical distance between nearest neighbor particles  $\sim n^{-1/3}$

I.e., a cube that contains on average 1 particle has a width  $L$  such that  $L^3 n \approx 1$

$$\frac{\text{Typical Potential Energy between nearest neighbors}}{\text{Typical Kinetic energy of a particle}} \approx \frac{e\Phi}{\frac{1}{2}mv^2}$$

$$\sim \frac{e^2 n^{1/3}}{T} \sim 10^{-6}$$

for typical ITER parameters,  $T \approx 10$  keV,  $n \approx 10^{14} / \text{cm}^3$

( $T$  usually measured in energy units in plasma physics, so Boltzmann's constant  $k_B=1$ )

# Další kroky

$$\lambda_{De} \equiv \sqrt{\frac{\epsilon_0 T_e}{n_e e^2}} \simeq 7434 \sqrt{\frac{T_e(\text{eV})}{n_e(\text{m}^{-3})}} \text{ m, } \text{ electron Debye length.}$$

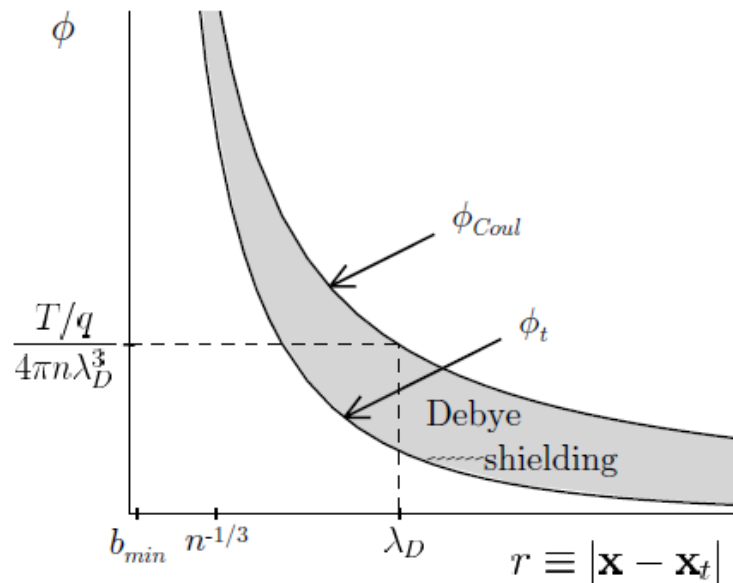
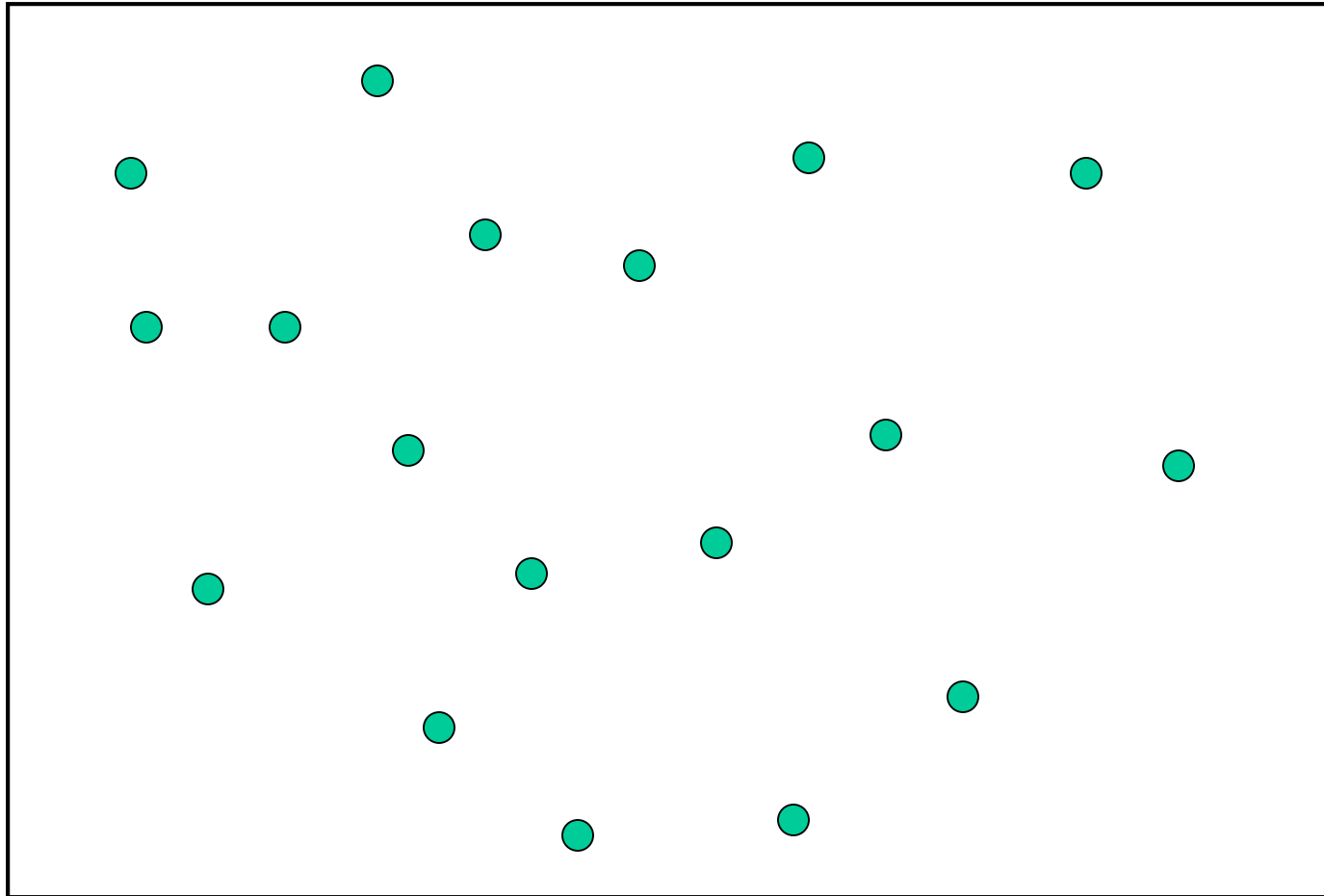


Figure 1.1: Potential  $\phi_t$  around a test particle of charge  $q_t$  in a plasma and Coulomb potential  $\phi_{Coul}$ , both as a function of radial distance from the test particle. The shaded region represents the Debye shielding effect. The characteristic distances are:  $\lambda_D$ , Debye shielding distance;  $n_e^{-1/3}$ , mean electron separation distance;  $b_{min}^{cl} = q^2 / (4\pi\epsilon_0 T)$ , classical distance of “closest approach” where the  $e\phi/T \ll 1$  approximation breaks down.

# Debye Length

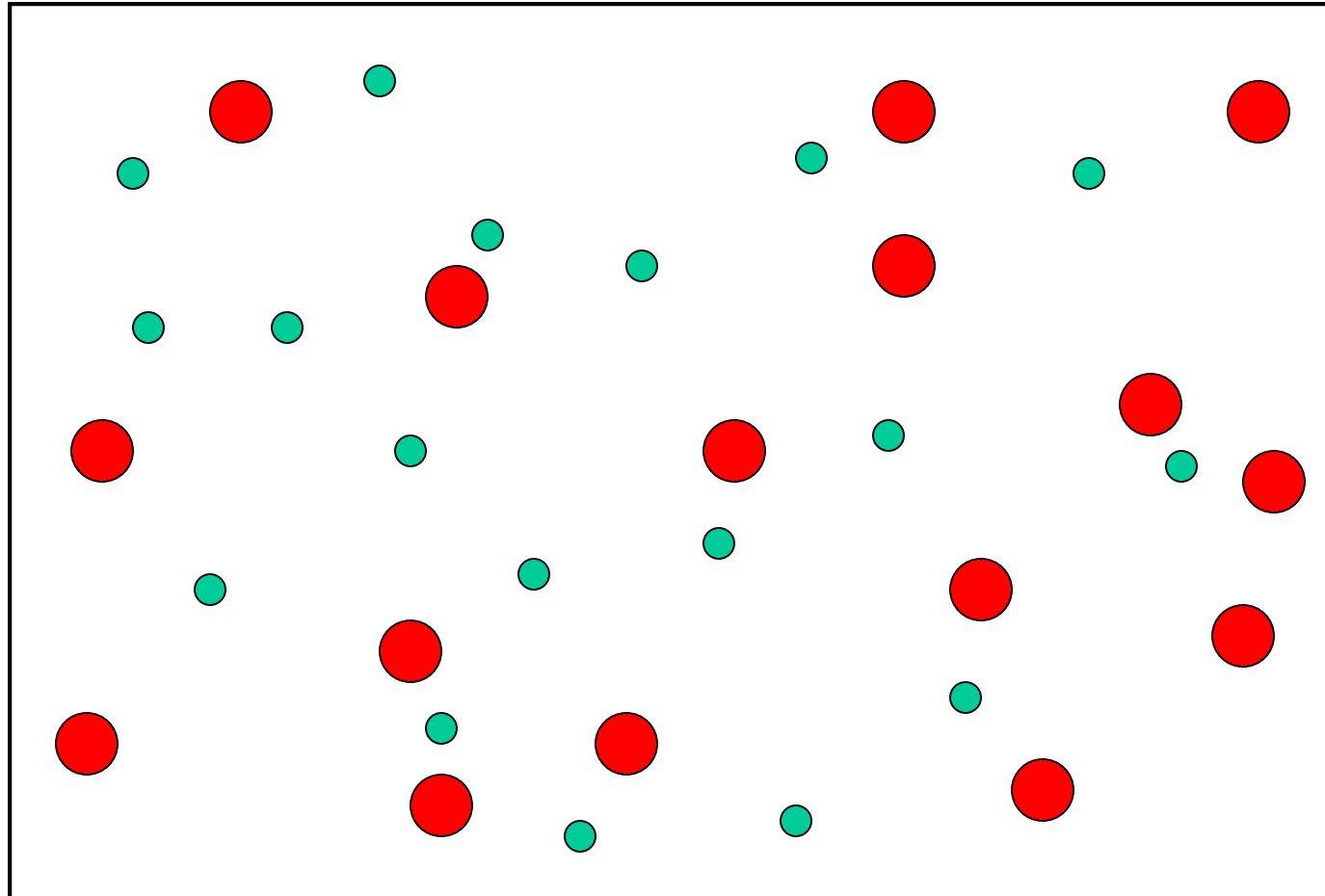
- Charged particles rather than neutrals



Electrons:  $e^-$  ●

# Debye Length

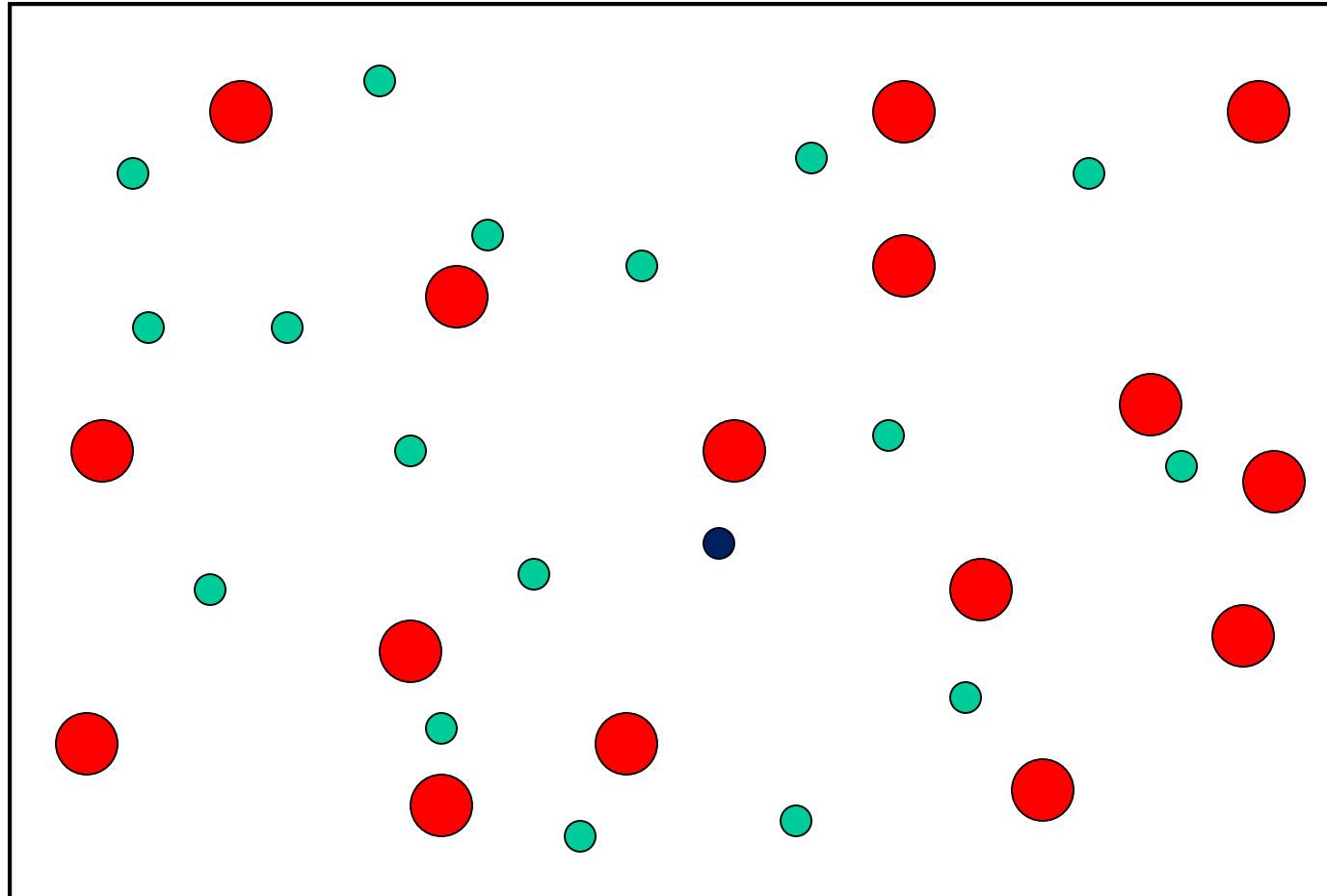
- Quasi-neutrality: nearly equal number of oppositely charged particles



Electrons:  $e^-$  ● Ions:  $H^+$  ●

# Debye Length

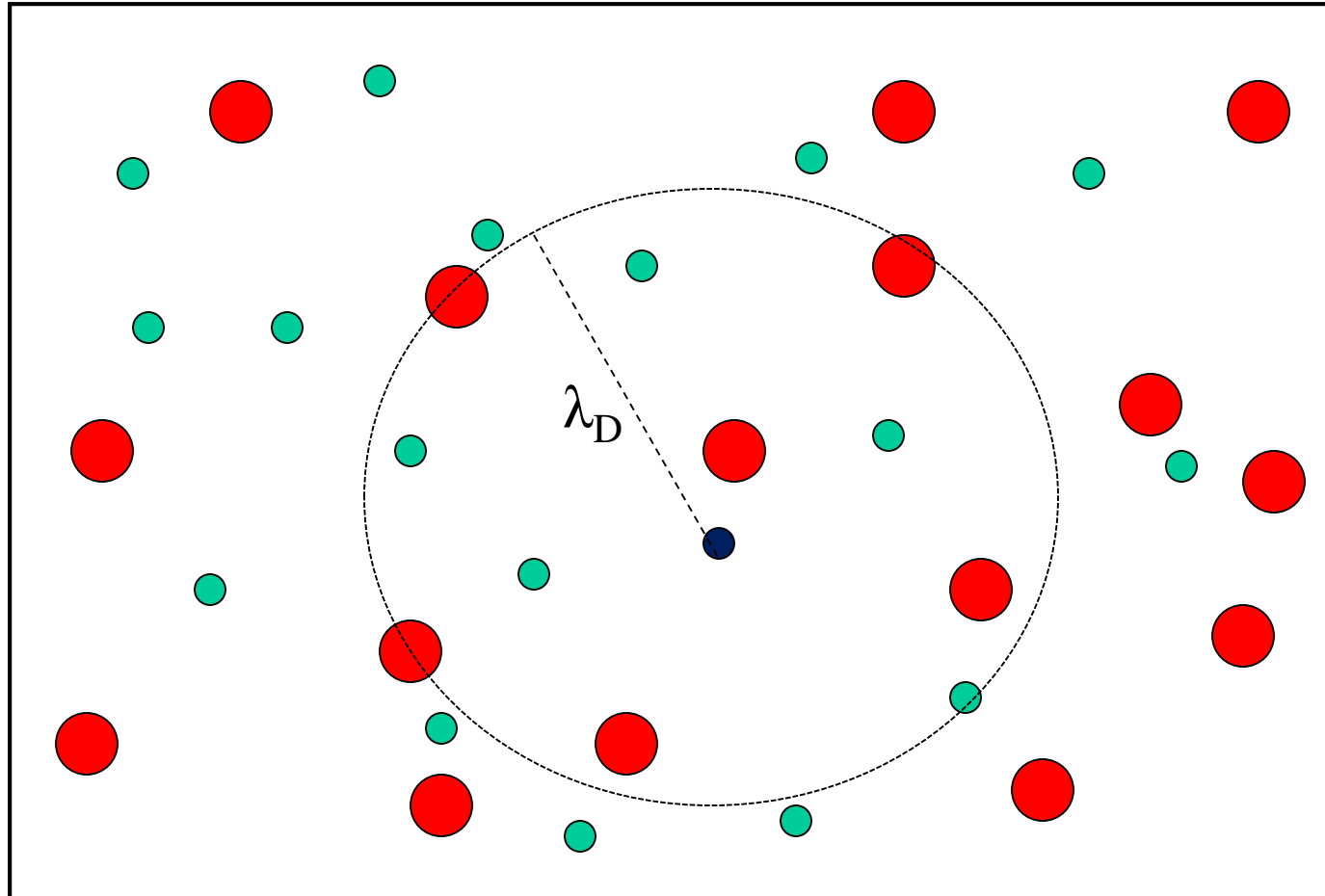
- Pick out a distinguished particle



Electrons:  $e^-$  ● Ions:  $H^+$  ●

# Debye Length

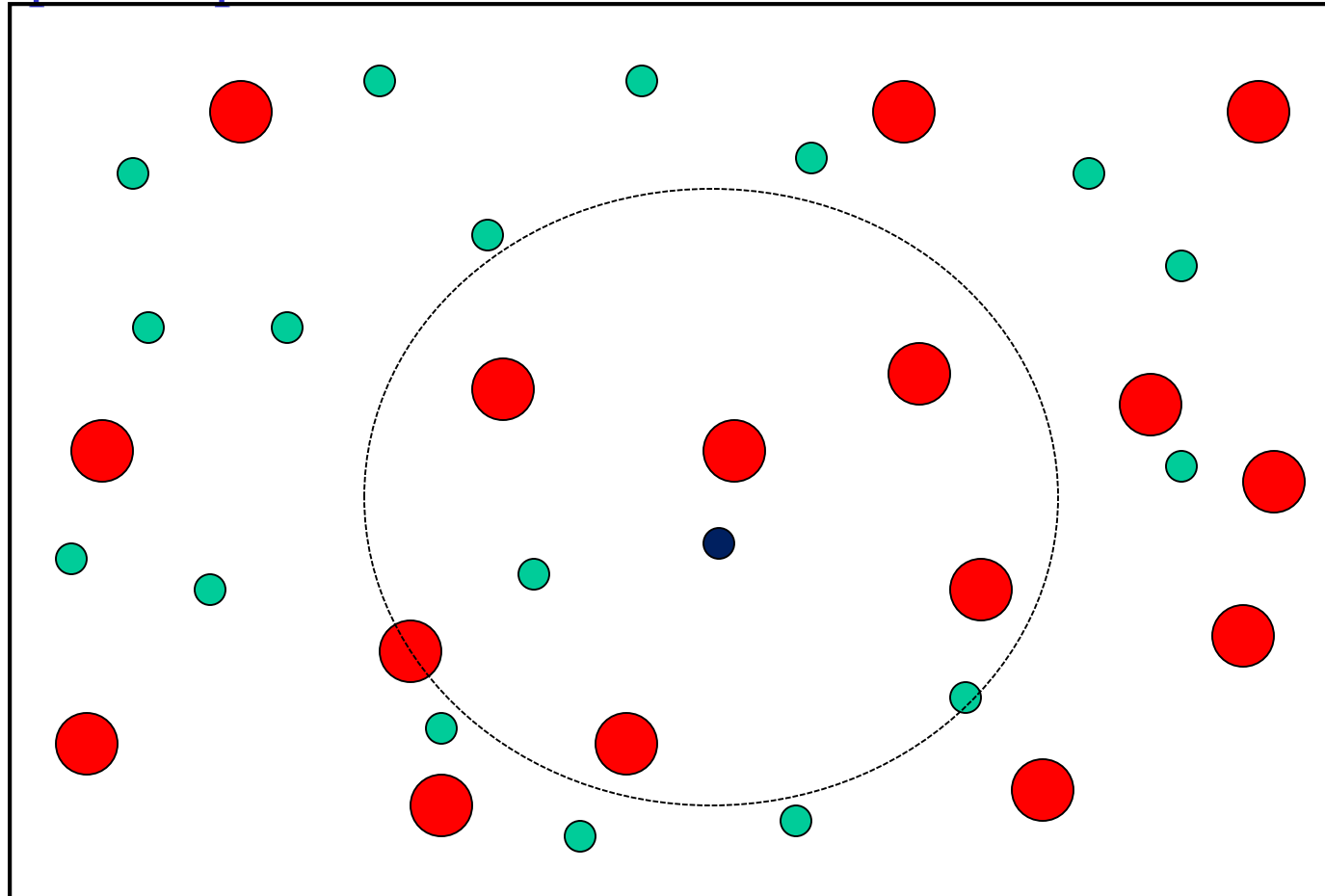
- Debye length = range of influence, e.g., for single electron



Electrons:  $e^-$  ● Ions:  $H^+$  ●

# Debye Length

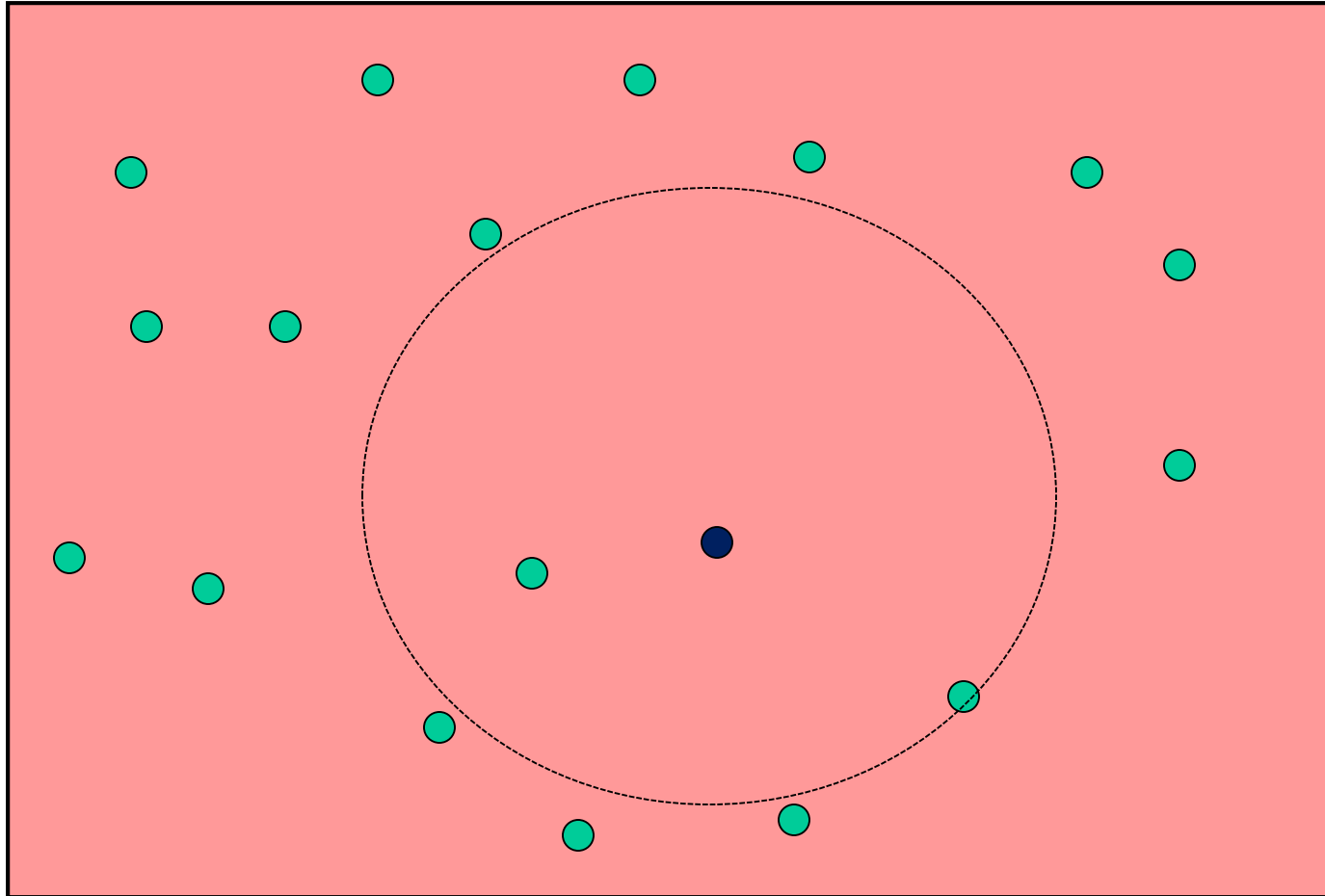
- In neighborhood of an electron there is deficit of other electrons, surplus of positive ions



Electrons:  $e^-$  ● Ions:  $H^+$  ●

# Debye Length

- Replace positive charged particles by continuum, for simplicity



Electrons:  $e^-$  ● ; test particle ● ; Ions:  
smoothed



# Debye Length: Derivation

- Distribution of electrons and ions
  - charge  $q$ ; temperature  $T$ ; dielectric coeff  $\epsilon_0$ ;
  - potential  $\phi$ , energy is  $-q\phi$
  - electrons in Gibbs distribution (in space)  $n_e e^{q\phi/k_B T}$
  - Uniform ions distribution  $n_i = n_e$
- Poisson equation (linearized)
  - Single electron at 0

$$\begin{aligned}\nabla^2 \phi &= (q / \epsilon_0)(\delta(x) + n_e e^{q\phi/k_B T} - n_e) \\ &\approx (q / \epsilon_0)\delta(x) + (n_e q^2 / \epsilon_0 k_B T)\phi\end{aligned}$$

- Solution

$$\phi = -(4\pi)^{-1} (q / \epsilon_0) r^{-1} e^{-r/\lambda_D}$$

With length scale  $\lambda_D =$  Debye length:

$$\lambda_D^{-2} = n_e q^2 (\epsilon_0 k_B T)^{-1}$$

# Interactions of Charged Particles in a Plasma

- Plasma parameter  $g = (n \lambda_D^3)^{-1}$ 
  - Plasma approximation  $g \ll 1$
  - Many particles in a Debye sphere
  - Otherwise, the system is an N-body problem
- Long range interactions
  - $r > \lambda_D$  ( $\lambda_D =$  Debye length)
  - Individual particle interactions are not significant
  - Interaction mediated by electric and magnetic fields
- Short range interactions
  - $r < \lambda_D$
  - Coulomb interactions

# The Plasma Parameter

A fundamental parameter used to characterize plasmas is the number of particles in a Debye sphere,  $\Lambda$ , a.k.a. “the plasma parameter:

$$\Lambda = n \frac{4\pi}{3} \lambda_D^3 \sim 10^8 \quad \text{for typical ITER parameters}$$

(A handy formula for  $\Lambda$  is on p. 29 of the NRL Plasma Formulary)

It turns out that the ratio of the potential energy between typical nearest neighbor particles to their typical kinetic energy (calculated a few slides back) can be expressed as

$$\frac{\text{Potential Energy}}{\text{Kinetic Energy}} \approx \frac{e^2 n^{1/3}}{T} = \frac{1}{(36\pi)^{1/3} \Lambda^{2/3}}$$

Thus  $\Lambda \gg 1$  implies the plasma is in the weakly-coupled limit. We will find that it also implies that the mean free path is long compared to the Debye length.